



เลขที่สัญญา R2559C146

รายงานวิจัยฉบับสมบูรณ์

โครงการ การพัฒนากำลังอัดของปูนซีเมนต์ที่ผสมถ่านหินกับ
จากโรงไฟฟ้าแม่مهajeในงานคอนกรีต



คณะผู้วิจัย สังกัด
ดร.ท נהศักดิ์ โนไซยา สังกัดภาควิชาพิสิกส์ คณะวิทยาศาสตร์
นางสาวปานิสรา ดีเสือ สังกัดภาควิชาพิสิกส์ คณะวิทยาศาสตร์

วันที่ออกเอกสาร	๗ ๗ ๒๕๖๓
รหัสเอกสาร	1024078
ผู้รับเอกสาร	2 TP 3 882 4 115 5 2560

สนับสนุนโดยกองทุนมหาวิทยาลัยนเรศวร

กิตติกรรมประกาศ

ในการทำงานวิจัยครั้งนี้ประสบผลสำเร็จลุล่วงไปได้โดยได้รับเงินสนับสนุนจาก กองทุนอุดหนุนการวิจัย จากงบประมาณรายได้ของมหาวิทยาลัยนเรศวรปีงบประมาณ 2559 เป็นอย่างยิ่ง โครงการวิจัยนี้ไม่สามารถ สำเร็จลุล่วงไปได้หากผู้วิจัยไม่ได้รับการสนับสนุนจากทุนดังกล่าว นอกจากนี้ผู้วิจัยขอขอบคุณยปธีบดีการ วิทยาศาสตร์ คณชวิทยาศาสตร์ มหาวิทยาลัยนเรศวร ที่ให้ความอนุเคราะห์ทางด้านเครื่องมือการวิเคราะห์ผลใน การวิจัย ขอขอบคุณภาควิชาศึกษาโยธา คณชวิศึกษาศาสตร์ มหาวิทยาลัยนเรศวร ที่ให้ความอนุเคราะห์ ทางด้านการทดสอบกำลังอัด และสุดท้ายทางผู้วิจัยขอขอบคุณภาควิชาพิสิกส์ คณชวิทยาศาสตร์ มหาวิทยาลัย นเรศวร ที่ให้การสนับสนุนสถานที่ในการทำงานวิจัยเป็นอย่างดี

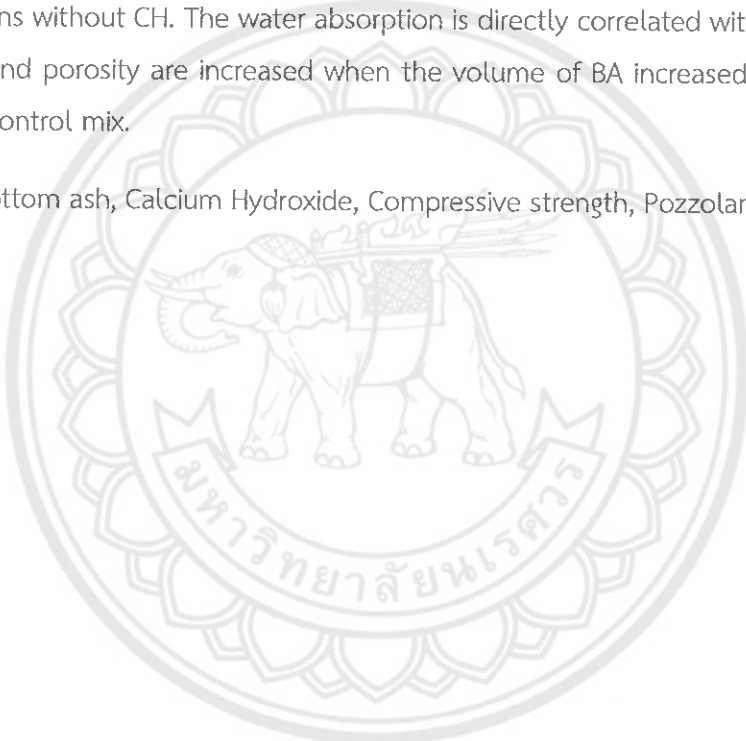
ท่านศักดิ์ โนไซยา
มีนาคม 2560



Abstract

Bottom ash (BA), a by-product from the Mae Moh power plant in Lampang, can be used as pozzolanic material by a partial cement replacement. In this research, BA was used as cement replacement at 10-30 wt% and Calcium Hydroxide (CH) was used as additive materials at 2.5-10 wt%. Prior to mixing, BA was ground by ball mill for 24 hours. Physical and mechanical properties of the mortars were studied after curing at 7, 14, 28 and 90 days. It was found that the compressive strength of mortars with BA are increased with increasing curing times. Moreover, the compressive strength of the specimens was containing CH found to be higher than that of the specimens without CH. The water absorption is directly correlated with the porosity. Water absorption and porosity are increased when the volume of BA increased and are higher than that of the control mix.

Keyword: Bottom ash, Calcium Hydroxide, Compressive strength, Pozzolanicity



Executive Summary

เด้าหนัก (Bottom Ash) หรือเรียกอีกอย่างหนึ่งว่า “เด้ากันเตา” เป็นถ่านที่ได้จากการเผาถ่านหินเพื่อเป็นเชื้อเพลิงในการผลิตกระแสไฟฟ้า ซึ่งโรงผลิตไฟฟ้าแบ่งเวลาโดยใช้พัลส์ความร้อนจากถ่านหินลิกไนต์ประมาณวันละ 40,000 ตัน ซึ่งก่อให้เกิดขี้เด้าเป็นปริมาณ 10,000 ตัน/วัน ในจำนวนนี้สามารถแปลงได้เป็นเด้าหนัก (Bottom ash) ร้อยละ 20 และเด้าโลย (Fly ash) ร้อยละ 80 ซึ่งจำเป็นต้องใช้พื้นที่ขนาดใหญ่มากในการฝังกลบ และจัดการ เด้าหนักมีองค์ประกอบหลักเป็น ชิลิกา (SiO_2) อะลูมิเนีย (Al_2O_3) ในการใช้งานเด้าหนักทดแทนปูนซีเมนต์ในปริมาณที่เพิ่มขึ้นจะส่งผลให้ค่าการดูดซึมน้ำเพิ่มขึ้นและทำให้ค่าการทนต่อแรงอัดลดลงในช่วงต้นแต่จะเพิ่มขึ้นในระยะยาว เนื่องจากระยะเวลาที่เพิ่มขึ้นจะทำให้เกิดปฏิกิริยาต่อขั้นทำให้เกิดการซักรีดตัวกันแน่น และเกิดการอุดช่องว่างภายในเนื้อซีเมนต์

ดังนั้นในงานวิจัยนี้จึงได้นำเอ้าหนักมาศึกษาผลของการใช้งานต่อสมบัติเชิงกลและสมบัติทางกายภาพของปูนซีเมนต์มอร์tar โดยทำการเติมสารเติมแต่งเพื่อเร่งปฏิกิริยา เริ่มจากเด้าหนักเพื่อให้มีคุณสมบัติการทำปฏิกิริยาที่ดีโดยบดให้มีขนาดอนุภาคราบเล็กลงโดยมีขนาดใกล้เคียงกับปูนซีเมนต์ แล้วจึงนำไปผสมทดแทนปูนซีเมนต์ในอัตราส่วนโดยรวมร้อยละ 0-30 โดยน้ำหนัก แล้วใช้แคลเซียมไฮดรอกไซด์ในอัตราส่วนร้อยละ 0-10 โดยน้ำหนัก เป็นสารเติมแต่ง และทำการเตรียมชิ้นงานเป็นมอร์tarโดยใช้อัตราส่วนน้ำต่อสัดส่วน (w/b) และอัตราส่วนหารายต่อสัดส่วนประสาร (s/b) เท่ากับ 0.5 และ 2.5 ตามลำดับ ซึ่งโครงการวิจัยนี้ได้ทำการศึกษากำลังอัด (compressive strength) และศึกษาสมบัติทางกายภาพของมอร์tarจากค่าความหนาแน่น ค่าการดูดซึมน้ำ และค่าความพรุน ที่ระยะเวลาการบ่ม 7, 14, 28 และ 90 วันโดยทดสอบตามมาตรฐาน ASTM C642 นอกจากนี้ยังทำการศึกษาโครงสร้างทางจุลภาคด้วยกล้องจุลทรรศน์อิเล็กตรอนแบบส่องการดูดด้วย

ผลการทดลองพบว่ากำลังอัดของมอร์tarในทุกส่วนผสมจะมีค่าเพิ่มขึ้นเมื่อระยะเวลาในการบ่มเพิ่มขึ้นโดยเฉพาะอย่างยิ่งที่ 90 วัน มีกำลังอัดสูงที่สุด กำลังอัดของของมอร์tarที่ผสมเด้าหนักในอัตราส่วนร้อยละ 20 โดยน้ำหนัก จะมีค่าใกล้เคียงกับมอร์tarควบคุมทุกระยะเวลาในการบ่ม ในการศึกษาเพิ่มเติมผลของสารเติมแต่งต่อค่ากำลังอัดพบว่าการเติมแคลเซียมไฮดรอกไซด์เข้าไปจะช่วยเพิ่มค่ากำลังอัดของของมอร์tarในช่วงต้น ตั้งแต่ 7 วันแรก และยังช่วยเพิ่มกำลังอัดในช่วงปลายอีกด้วย ส่วนผลของความหนาแน่น และการดูดซึมน้ำของมอร์tar ที่ผสมเด้าหนักมีค่าไม่ต่างจากมอร์tarควบคุมมากนัก แต่ในสูตรที่มีการเติมแคลเซียมไฮดรอกไซด์เข้าไปจะมีต่าความหนาแน่นที่เพิ่มขึ้น ในขณะที่ค่าการดูดซึมน้ำของชิ้นงานมอร์tarดังกล่าวมีค่าแนวโน้มที่ลดลงเมื่อระยะเวลาในการบ่มที่เพิ่มขึ้นโดยเฉพาะอย่างยิ่งที่ระยะเวลาในการบ่มที่ 90 วัน มีค่าต่ำที่สุด นอกจากนี้จากการศึกษาลักษณะโครงสร้างทางจุลภาคของมอร์tarพบว่าบริเวณผิวดังเด้าหนักมีการทำปฏิกิริยาได้ดีเมื่อมีการเติมสารเติมแต่ง อย่างไรก็ตามการใช้เด้าหนักเพื่อมาทดแทนในปูนซีเมนต์นั้น จะเป็นการช่วยลดพื้นที่ฝังกลบและยังสามารถนำวัสดุเหลือใช้มาใช้ให้เกิดประโยชน์สูงสุด อีกข้อหนึ่งที่สำคัญคือการนำวัสดุมาแทนในปูนซีเมนต์จะสามารถช่วยลดการระเบิดภูเขาหินปูนและยังช่วยลดการปล่อยก๊าซcarbon dioxide ออกไซด์ซึ่งเป็นมลภาวะแก่สิ่งแวดล้อมด้วย

สารบัญ

หน้า

กิตติกรรมประกาศ	2
บทคัดย่อภาษาไทย	3
บทคัดย่อภาษาอังกฤษ	4
Executive Summary	5
สารบัญ	6
บทที่ 1 บทนำ	7
บทที่ 2 ทฤษฎีและงานวิจัยที่เกี่ยวข้อง	9
บทที่ 3 วิธีการทดลอง	16
บทที่ 4 ผลการทดลองและอภิปรายผลการทดลอง	27
บทที่ 5 สรุปผลการทดลอง	38
เอกสารอ้างอิง	39
ผลลัพธ์จากการวิจัย	40
ภาคผนวก	41



บทที่ 1

บทนำ

1.1 ความสำคัญและที่มาของปัญหาที่ทำการวิจัย

เด็กถ่านหินเป็นวัสดุพอลอยได้ (by product) จากกระบวนการผลิตกระแสไฟฟ้าที่ใช้ถ่านหินเป็นเชื้อเพลิง โดยถ่านหินจะถูกเผาในห้องเผาใหม่ ซึ่งมีอุณหภูมิสูง องค์ประกอบต่าง ๆ ที่อยู่ในถ่านหินจะเกิดการแปรสภาพเป็นออกไซด์หลายชนิด ซึ่งได้แก่ ซิลิค้า อะลูมินา เหล็กออกไซด์ เป็นส่วนใหญ่ เด็กถ่านหินคิดเป็นปริมาณร้อยละ 25 ของถ่านหินที่ใช้ในการเผา โดยเด็กถ่านหินแบ่งออกได้เป็นสองส่วน คือเด็กถ่าย (Fly ash) มีปริมาณร้อยละ 90 และเด็กหนัก (Bottom ash) มีปริมาณร้อยละ 10 ของน้ำหนักของเด็กถ่านหินทั้งหมด [1-2]

เด็กถ่ายจะเป็นเด็กที่มีขนาดอนุภาคเล็กมาก มีขนาดประมาณ 1-150 ไมโครเมตร ซึ่งจะถูกฟังชันไปยังส่วนบนของปล่องระบายน้ำของห้องเผาใหม่ เด็กถ่ายจะถูกดักจับโดยที่ดักจับไฟฟ้าสถิตย์ (electrostatic precipitator) เพื่อไม่ให้หลุดออกไปสู่ภายนอกเป็นมลภาวะต่อพื้นที่รอบโรงงาน ด้วยความกลมและขนาดที่เล็ก อนุภาคเด็กถ่ายจึงเป็นตัวช่วยในการหล่อเลี้นที่ดี ในลักษณะของ Ball bearing ในการผสมคอนกรีตซึ่งสามารถทำได้ง่ายขึ้น โดยใช้ปริมาณน้ำน้อยกว่าที่ใช้ในการผสมคอนกรีตปกติ [2] ส่วนเด็กหนักเป็นเด็กขนาดใหญ่ จะหล่นลงในน้ำบาริโว่ใต้ห้องเผาใหม่ เด็กหนักมีลักษณะพื้นผิวที่มีรูพรุน มีความถ่วงจำเพาะอยู่ในช่วง 2.1-2.7 ซึ่งมีน้ำหนักโดยรวมเบามากเมื่อเทียบกับปูนซีเมนต์ปอร์ตแลนด์ทั่วไป

การใช้เด็กหนักในอุตสาหกรรมคอนกรีตนั้นยังไม่เป็นที่นิยมมากนัก ในช่วง 20 ปีที่ผ่านมา เริ่มการศึกษาวิจัยการนำเด็กหนักมาใช้ในอุตสาหกรรมปูนซีเมนต์ ได้แก่ การนำเด็กหนักมาใช้ทดแทนทราย โดยอัตราส่วนที่เหมาะสมของเด็กหนักที่นำมาใช้แทนมวลรวมละเอียดไม่กว่า 400 กิโลกรัมร้อยละ 30 โดยน้ำหนัก [3-4] หรือการนำเจามาใช้ทำคอนกรีตมวลเบา [5] หรือใช้เป็นวัตถุดินเรื่องต้นสำหรับทำเป็นจิวเวล러ี่พอลิเมอร์ [6] นอกจากนี้การใช้งานอีกอย่างหนึ่งคือ นำเอาเด็กหนักมาใช้ทดแทนปูนซีเมนต์ปอร์ตแลนด์ [7-8] จากลักษณะทางเคมีของเด็กหนักพบว่ามีองค์ประกอบหลักเป็นซิลิค้า (SiO_2) อะลูมินา (Al_2O_3) และเหล็กออกไซด์ (Fe_2O_3) รวมกันแล้วมากกว่าร้อยละ 70 [9-11] ในการใช้งานเด็กหนักทดแทนปูนซีเมนต์ในปริมาณที่เพิ่มขึ้นจะส่งผลให้ค่าการดูดซึมน้ำเพิ่มขึ้นและทำให้ค่าการทานต่อแรงอัดลดลงในช่วงต้นแต่จะเพิ่มขึ้นในระยะยาว จึงเป็นจุดที่ค่อนข้างท้าทายนักวิจัยในการแก้ปัญหาการพัฒนาがらดังอัดของคอนกรีตที่สมเด็กหนักในจุดนี้ ซึ่งโดยทั่วไปเด็กหนักที่ได้จากโรงไฟฟ้าจะมีขนาดอนุภาคค่อนข้างใหญ่ถ้าก่อนนำมาใช้จึงต้องนำไปบดก่อน (ball mill) และการทำปฏิกิริยาของเด็กหนักกับแคลเซียมไอก្រอกไชด์เกิดเป็นเฟสแคลเซียมซิลิเกตไฮเดรท (C-S-H) จะต้องใช้ระยะเวลานาน เนื่องจากแคลเซียมไอก្រอกไชด์เป็นผลิตภัณฑ์ที่ได้จากปฏิกิริยาไฮเดรตชันของแคลเซียมซิลิเกตในปูนซีเมนต์กับน้ำ นอกจากนี้การใช้เด็กหนักจะช่วยเพิ่มปริมาณของเนื้อคอนกรีต [2-3] อย่างไรก็ตามในทางการจัดการวัสดุเหลือใช้จากโรงงานการใช้เด็กหนักเพื่อทดแทนในปูนซีเมนต์นั้น จะเป็นการช่วยลดพื้นที่ฝังคงและยังสามารถนำวัสดุเหลือใช้มาใช้ให้เกิดประโยชน์สูงสุด อีกข้อหนึ่งที่สำคัญคือการนำวัสดุมาแทนในปูนซีเมนต์จะสามารถช่วยลดการระเบิดภูเขาหินปูนและยังช่วยลดการปล่อยก๊าซคาร์บอนไดออกไซด์ซึ่งเป็นมลภาวะแก่สิ่งแวดล้อมด้วย

ดังนั้นงานวิจัยนี้มีความมุ่งหมายที่จะทำการพัฒนาปูนซีเมนต์ปอร์ตแลนด์ที่สมเด็กหนักโดยการเติมสารแคลเซียมไอก្រอกไชด์เป็นวัสดุเติมแต่ง เพื่อพัฒนาคุณสมบัติของปูนซีเมนต์ปอร์ตแลนด์ผสมเด็กหนักเพื่อใช้ในงานคอนกรีตให้มีประสิทธิภาพเพิ่มมากยิ่งขึ้น นอกจากนี้การนำเอาเด็กหนักจากโรงไฟฟ้าแม่มาใช้ทดแทนปูนซีเมนต์ปอร์ตแลนด์จะเป็นการช่วยลดพลังงานโดยตรงจากการผลิตปูนซีเมนต์ปอร์ตแลนด์ และยังช่วยลดปริมาณของก๊าซคาร์บอนไดออกไซด์ที่

เกิดจากกระบวนการเผา สิ่งส่งผลให้ลดผลกระทบต่อสิ่งแวดล้อมโดยเฉพาะการเกิดภาวะเรือนกระจก (Greenhouse effect) และยังสามารถนำมาใช้งานได้จริงในภาคอุสาหกรรมอีกด้วย

1.2 วัตถุประสงค์ของโครงการวิจัย

- 1.2.1 เพื่อศึกษาผลของการเติมแต่งต่อกำลังอัดของปูนซีเมนต์ปอร์ตแลนด์สมเก้าหนัก
- 1.4.2 เพื่อศึกษาปฏิกิริยาปูนซีเมนต์ที่ผสมเด้าหนักและสารเติมแต่ง
- 1.4.3 เพื่อศึกษาสมบัติความทนทานต่อขั้ลเฟทของมอร์ตาร์ที่ผสมเด้าหนักและสารเติมแต่ง
- 1.4.4 สามารถนำวัสดุเหลือใช้จากการรีไซเคิลมาใช้ในอุตสาหกรรมคอนกรีตแบบยั่งยืนได้

1.3 วิธีการดำเนินการวิจัย และสถานที่ทำการทดลอง/เก็บข้อมูล

1. ค้นคว้าวรรณกรรม
2. เก็บตัวอย่างเด้าหนักจากโรงงานไฟฟ้าแม่เมะ จ.ลำปาง
3. ทำการบดเด้าหนักให้มีขนาดที่เหมาะสมตามมาตรฐาน ASTM C618
4. วิเคราะห์ลักษณะเฉพาะของวัตถุคิบ ด้วยเทคนิค XRD, SEM และ Particle size analyzer โดยส่งชิ้นงานไปทดสอบที่ศูนย์ปฏิบัติการเครื่องมือทางวิทยาศาสตร์ คณะวิทยาศาสตร์ มหาวิทยาลัยนเรศวร
5. ศึกษาสมบัติเชิงกล ทางกายภาพ และความทนทานของปูนซีเมนต์ปอร์ตแลนด์ที่ผสมเด้าหนัก โดยทดสอบชิ้นงานที่ศูนย์เครื่องมือคณะกรรมการศาสตร์ และคณะวิทยาศาสตร์ มหาวิทยาลัยนเรศวร
6. นำข้อมูลจากการทดลองที่ได้มาวิเคราะห์ข้อมูล
7. เผยแพร่รายงาน สรุปผล

1.4 ระยะเวลาทำการวิจัย และแผนการดำเนินงานตลอดโครงการวิจัย

กิจกรรม	เดือนที่											
	1	2	3	4	5	6	7	8	9	10	11	12
1. ทบทวนวรรณกรรม/สารสนเทศ												
2. เก็บตัวอย่างจากโรงงาน												
3. วิเคราะห์วัตถุคิบ												
4. เตรียมชิ้นงานสำหรับการทดสอบ												
5. วิเคราะห์ผลการทดลอง												
6. นำเสนอผลงานวิจัย												
7. เผยแพร่รายงาน สรุปโครงการ												

บทที่ 2

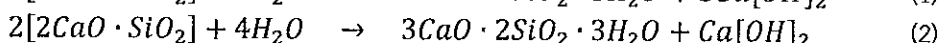
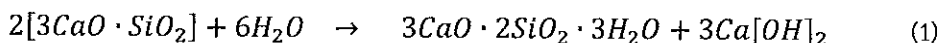
ทฤษฎี และงานวิจัยที่เกี่ยวข้อง

2.1 ทฤษฎี สมมุติฐาน (ถ้ามี) และกรอบแนวความคิดของโครงการวิจัย

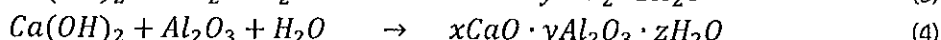
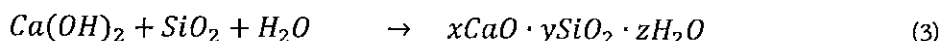
วัสดุก่อสร้างประเภทคอนกรีต ถือเป็นวัสดุที่นิยมนำมาใช้สำหรับงานโครงสร้างกัน เนื่องจากมีราคาถูก ใช้งานง่าย และมีความคงทนสูง มีอยู่ในการใช้งานที่ยาวนานอีกด้วย ซึ่งในกระบวนการผลิตปูนซีเมนต์นั้นจำเป็นที่จะต้องใช้วัตถุดินจากธรรมชาติ เช่น หินปูน ดินขาว และศิลปะแลง มาผ่านร่วมกันในเตาหลอมแบบหมุน (Rotary kiln) ที่อุณหภูมิประมาณ 1,450-1500 °C จนกลายเป็นปูนเม็ด แล้วจึงนำไปบดละเอียดเพิ่มคุณสมบัติของปูนซีเมนต์ที่ใช้อยู่ในปัจจุบัน [12] จากกระบวนการผลิตปูนซีเมนต์ดังกล่าวจะเห็นว่าในกระบวนการผลิตปูนซีเมนต์ จำเป็นจะต้องใช้พลังงานจำนวนมาก ทั้งจากการทำเหมืองแร่ตุ่น การเผา และการบด นอกจากนี้ในกระบวนการผลิตปูนซีเมนต์ยังมีการปล่อยก๊าซก๊าซคาร์บอนไดออกไซด์ (CO_2) ออกมາอีกด้วย ดังนั้นจึงมีหลายงานวิจัยที่มีแนวคิดที่จะพัฒนาคุณภาพรีดแบบบ่ยยืนชั้น โดยการลดปริมาณการใช้ปูนซีเมนต์ลง แล้วใช้วัสดุปูชโซล่าแทนปูนซีเมนต์บางส่วน ซึ่งจำกัดความของวัสดุปูชโซล่าตามมาตรฐาน ASTM C618 กล่าวว่าเป็นวัสดุที่มีองค์ประกอบของซิลิ喀 (SiO_2) และอัลูมิเนียม (Al_2O_3) และเหล็กออกไซด์ (Fe_2O_3) รวมกันมากกว่าร้อยละ 70 สามารถทำปฏิกิริยากับแคลเซียมไฮดรอกไซด์ที่ได้จากปฏิกิริยาไอลเรชันของปูนซีเมนต์กับน้ำ [9-11] แล้วมีคุณสมบัติเป็นตัวช่วยยืดประสานหินและทราบในคอนกรีตได้ โดยมากแล้ววัสดุปูชโซล่าก็จะเป็นเต้าที่เกิดจากการเผาวัสดุทางการเกษตร และถ่านหินในโรงงานอุตสาหกรรม ซึ่งวัสดุปูชโซล่าสามารถจากภาคการเกษตรได้แก่ เถ้ากลบ (Rice husk ash) เถ้าปาล์มน้ำมัน (Palm oil fuel ash) และเถ้าข้าวอ้อย (Sugar cane bagasse ash) และวัสดุปูชโซล่าจากภาคอุตสาหกรรมได้แก่ เถ้าโลย (Fly ash) เถ้าหนัก (Bottom ash) ตะกรันเหล็ก (Blast furnace slag) ฝุ่นซิลิ喀 (Silica fume) [2, 13-15] ซึ่งถ้าส่วนใหญ่จะถูกนำมาใช้งานกันอยู่บ้างแต่ก็ยังไม่แพร่หลาย ยกเว้นถ้าถ้าโลยซึ่งเป็นที่รู้จักกันดีในการนำมาใช้ในการผลิตคอนกรีตแบบบ่ยยืน แต่อย่างไรก็ตามในการใช้วัสดุปูชโซล่ามาทดแทนปูนซีเมนต์ที่ยังประสบปัญหาทางด้านการพัฒนาがらสั้นอัดในช่วงต้น คืออายุของคอนกรีตไม่เกิน 28 วัน ยังมีค่าที่ต่ำกว่าคอนกรีตควบคุมอยู่มาก ทั้งนี้เนื่องจากปฏิกิริยาของวัสดุปูชโซล่าต้องใช้เวลา

โดยเริ่มจากปฏิกิริยาไอลเรชัน [12] ของคอนกรีตคือปฏิกิริยาที่สารประกอบคัลเซียมซิลิเกตไอลเรช (C₃S, C₂S) ทำปฏิกิริยากับน้ำทำให้ซีเมนต์เพสท์ เกิดเป็นวุ้น (Ge) และแคลเซียมไฮดรอกไซด์ (Ca(OH)_2) ซึ่งวุ้น (Ge) เป็นตัวประสาน มีความเหนียวคล้ายกาว ก่อตัว แข็งตัว และยืดเทา แน่นกับวัสดุสม ส่วนแคลเซียมไฮดรอกไซด์ ทำให้ซีเมนต์เพสท์มีคุณสมบัติเป็นต่าง (ช่วยป้องกันการเกิดสนิมในเหล็กเสริม) เรียกว่า ปฏิกิริยาไอลเรชัน (Hydration) สารประกอบ C₃S และ C₂S ที่อยู่ในฝุ่นซีเมนต์จะทำปฏิกิริยากับน้ำ ได้สารประกอบคัลเซียมซิลิเกตไอลเรชดัง สมการ (1) และ (2)

ปฏิกิริยาไอลเรชัน



ในส่วนของแคลเซียมไฮดรอกไซด์ที่ได้จากปฏิกิริยาไอลเรชันนี้อาจทำปฏิกิริยาต่อไปอีกกับซิลิ喀 และอัลูมิเนียม ซึ่งเป็นองค์ประกอบหลักที่มีอยู่ในวัสดุปูชโซล่า เรียกปฏิกิริยานี้ว่าปฏิกิริยาปูชโซล่า (pozzolanic) ดังแสดงในสมการ (3) และ (4) ตามลำดับ [2]



สำหรับการใช้งานเดาหนักซึ่งถือเป็นวัสดุปูชิโนลีนนิดหนึ่งสามารถนำมาใช้ทดแทนปูนซีเมนต์ปอร์ทแลนด์ได้ อุปสรรคที่สำคัญอย่างหนึ่งต่อการใช้งานเดาหนักในทางปฏิบัติที่ต้องการความแข็งแรงในช่วงแรกเพื่อที่จะสามารถถอดแบบออกได้ ในการแก้ปัญหาดังกล่าวสามารถทำได้โดยการใช้สารเติมแต่งปฏิกิริยาของวัสดุปูชิโนลีนในปูนซีเมนต์ เช่น การใช้แคลเซียมไฮดรอกไซด์ (Ca(OH)_2) เป็นต้น หรือการใช้สารอื่น ๆ เช่น ซิลิกาฟูม หรือสารขนาดนาโน เพื่อเพิ่มกำลังอัด (ความแข็งแรง) ให้ดียิ่งขึ้น จากปัญหาดังกล่าวข้างต้นทางผู้วิจัยมีแนวคิดที่จะปรับปรุงแนวทางการนำวัสดุปูชิโนลีนมาใช้ในงานคอนกรีต ซึ่งคอนกรีตที่ผสมเดาหนักก็เป็นหนึ่งในเป้าหมายของผู้วิจัยที่ต้องการจะพัฒนาเพื่อนำมาใช้งานในภาคอุสาหกรรมคอนกรีตแบบบล็อกยื่น ดังนั้นในงานวิจัยนี้มีจุดงหามายที่จะพัฒนาปูนซีเมนต์ผสมเดาหนักเพื่อให้เป็นวัสดุก่อสร้างแบบบล็อกยื่น โดยการเติมสารเติมแต่ง (แคลเซียมไฮดรอกไซด์) และทำการศึกษาผลสารเติมแต่งต่อสมบัติเชิงกล สมบัติทางกายภาพและการต้านทานคลอร์ดของปูนซีเมนต์มอร์ทาร์ที่ผสมเดาหนัก

2.2 ปูนซีเมนต์ปอร์ทแลนด์ (Portland cement)

วัตถุชนิดนี้พับครั้งแรกที่เมืองปอร์ทแลนด์ ในประเทศอังกฤษ ปูนซีเมนต์แลนด์ประกอบด้วยหินปูน (Limestone) และดินเหนียว (clay) เป็นส่วนใหญ่จากหินนี้มีเหล็กออกไซด์ (Fe_2O_3) และโคลอไมต์ (MgCO_3) เป็นจำนวนเล็กน้อย ปูนซีเมนต์ปอร์ทแลนด์ธรรมชาติในบ้านเรารู้จักกันทั่วไป (ปูนซีเมนต์ปอร์ทแลนด์ตราซั่ง, ตราพยานาคเขียว, TPI (แดง) ฯลฯ ปกติจะมีสีเทาแกมเขียว (greenish gray) และมีน้ำหนักประมาณ 92 ปอนด์/ฟุต³ เมื่อเผาตัดดิบของปูนซีเมนต์ซึ่งได้แก่สารออกไซด์ของธาตุแคลเซียม ซิลิกอน อะลูมิเนียม และ เหล็ก สารเหล่านี้จะทำปฏิกิริยากันทางเคมี และรวมตัวกันเป็นสารประกอบอยู่ในปูนเม็ดในรูปของผลึกที่ละเอียดมาก ดังแสดงในตารางที่ 2.1

ตารางที่ 2.1 สารประกอบที่สำคัญของปูนซีเมนต์ปอร์ทแลนด์

ชื่อของสารประกอบ	ส่วนประกอบทางเคมี	ชื่อย่อ
ไตรแคลเซียม ซิลิกेट	$3\text{CaO} \cdot \text{SiO}_2$	C_3S
ไดแคลเซียม ซิลิกेट	$2\text{CaO} \cdot \text{SiO}_2$	C_2S
ไตรแคลเซียม อะลูมิโนอลูมิโนอลูมิโน	$3\text{CaO} \cdot \text{Al}_2\text{O}_3$	C_3A
เทตตราแคลเซียม อะลูมิโนเฟอไรต์	$4\text{CaO} \cdot \text{Al}_2\text{O}_3 \cdot \text{Fe}_2\text{O}_3$	C_4AF

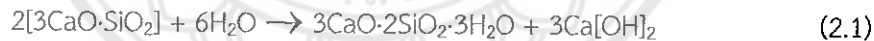
C_3S ทำให้ปูนซีเมนต์มีกำลังรับแรงได้เร็วภายใน 14 วัน C_2S ทำให้ปูนซีเมนต์มีกำลังรับแรงได้ช้า ความร้อนเกิดขึ้นปอย C_3A ทำให้ปูนซีเมนต์เกิดปฏิกิริยาเริมแข็งตัวเกิดความร้อนสูง มีกำลังรับแรงเร็ว C_4AF มีผลให้ความแข็งแรงเล็กน้อยตามเข้าไปเพื่อลดความร้อนที่เกิดขึ้น

2.3 ปฏิกิริยาไฮเดรชัน

ปฏิกิริยาไฮเดรชัน ของคอนกรีตคือปฏิกิริยาที่สารประกอบคัลเซียมซิลิกेटไฮเดรท (C_3S และ C_2S) ทำปฏิกิริยากับน้ำทำให้ซีเมนต์เพสท์ เกิดเป็นวุ้น (Gel) และแคลเซียมไฮดรอกไซด์ ซิงวุ้น (Gel) เป็นตัวประสาน มีความหนืดลักษณะ ก่อตัว แข็งตัว และ ยึดเกาะแน่นกับวัสดุสมปุนซีเมนต์ธรรมชาติให้ความร้อนประมาณ 85 - 100 คัล/or ต่อกรัม ตามระยะเวลาภายหลังการผสม ความร้อนที่เกิดขึ้นนี้บางส่วนจะหนีผ่านเนื้อคอนกรีต ออกมาน แต่บางส่วนจะอยู่ภายในเนื้อคอนกรีต ถ้าความร้อนที่เกิดขึ้นภายในเนื้อคอนกรีตมีค่าสูง คอนกรีตอาจเสียความแข็งแรงได้ และ ความร้อนนี้จะทำให้เกิดหน่วยแรงต่าง ๆ ภายในเนื้อคอนกรีต ซึ่งเป็นผลให้คอนกรีตแตกร้าว ในโครงสร้างคอนกรีตที่บาง ความร้อนสามารถถ่ายเทออกໄไปได้ แต่ในโครงสร้างคอนกรีตขนาดใหญ่ และ หนา เช่น เขื่อน จะต้องมีการออกแบบให้มีการถ่ายเทความร้อนให้เหมาะสมเพื่อป้องกันการแตกร้าวของคอนกรีต วิธีหนึ่งอาจทำได้โดยใช้ปูนซีเมนต์ประเภทสี ที่ให้ความร้อนจากปฏิกิริยาไฮเดรชันต่ำ ($60 - 70$ คัล/or ต่อ กรัม) การทำปฏิกิริยาระหว่างปูนซีเมนต์กับน้ำจะทยอยเมื่อน้ำระเหยหนีออกจากเพสท์หมดแล้ว ดังนั้นการบ่มซึ่งเป็นวิธีการป้องกันการสูญเสียน้ำในคอนกรีตจึงนับว่าเป็นสิ่งสำคัญ เวลาที่ใช้ในการทำปฏิกิริยาระหว่างปูนซีเมนต์กับน้ำให้เป็นไปอย่างสมบูรณ์ จึงอยู่กับปริมาณของปูนซีเมนต์ในส่วนผสม ชนิดของปูนซีเมนต์ ความละเอียดของปูนซีเมนต์ อุณหภูมิ และ อัตราส่วนของน้ำต่อซีเมนต์ สำหรับอัตราส่วนน้ำต่อซีเมนต์ที่ต่ำกว่า 0.55 โดยน้ำหนัก จะขึ้นอยู่กับการให้น้ำจากภายนอกด้วย ถ้าบ่มคอนกรีตที่ใช้กันตามธรรมชาติเป็นเวลา 1 เดือน โดยให้อยู่ในสภาพมาตรฐานของห้องทดลอง จะพบว่าปูนซีเมนต์จะทำปฏิกิริยา กับน้ำกว่าร้อยละ 80 อย่างไรก็ได้ตามสภาพในสนาม คอนกรีตจะแห้งภายในเวลาไม่กี่วัน หลังจากนั้นปูนซีเมนต์ยังคงทำปฏิกิริยา กับน้ำต่อไปได้โดยอาศัยน้ำที่ซึมจากใต้ดินหรือจากความชื้นในขณะฝนตก หรือ ในขณะที่ความชื้นในอากาศสูง ดังนั้นภายใต้ภาวะแวดล้อมธรรมชาติการทำปฏิกิริยาของปูนซีเมนต์กับน้ำจะยังคงมีต่อไปอีกหลายปี

เมื่อผสมปูนซีเมนต์กับน้ำ จะเกิดปฏิกิริยาทางเคมีขึ้น ระหว่างสารประกอบในปูนซีเมนต์กับน้ำเรียกว่าปฏิกิริยาไฮเดรชัน (Hydration) สารประกอบ C_3S และ C_2S ที่อยู่ในผงปูนซีเมนต์จะทำปฏิกิริยา กับน้ำ ได้สารประกอบคัลเซียมซิลิกेटไฮเดรท ($3CaO \cdot 2SiO_2 \cdot 3H_2O$ หรือ C-S-H) ดังสมการ (2.1) และ (2.2)

ปฏิกิริยาไฮเดรชัน



2.4 วัสดุปอชโซล่า

ในปัจจุบันมีการนำวัสดุประเภทปอชโซลามาใช้ประโยชน์ในด้านอุตสาหกรรมซีเมนต์และอุตสาหกรรม ก่อสร้างกันอย่างแพร่หลายโดยวัสดุประเภทปอชโซลานี้ถือว่าเป็นวัสดุเชื่อมประสาน (Cementitious Material) ชนิดหนึ่ง คำว่าวัสดุเชื่อมประสานนี้หมายถึงวัสดุที่ทำหน้าที่เชื่อมประสานองค์ประกอบต่างๆหรือวัสดุอื่นเข้าด้วยกันซึ่งในอดีตวัสดุเชื่อมประสานในงานก่อสร้างมีเพียงอย่างเดียวคือ ซีเมนต์ปอร์ทแลนด์ โดยมาตรฐาน ASTM C618 "ได้ให้คำจำกัดความของวัสดุปอชโซลานี้ไว้ว่า "วัสดุปอชโซลานี้เป็นวัสดุที่มีอิสิลิกาหรือชิลิกาและอะลูมินาเป็นองค์ประกอบหลัก โดยทั่วไปแล้ววัสดุปอชโซลานี้ไม่มีคุณสมบัติในการยึดประสาน แต่ถ้าวัสดุปอชโซลามีความละเอียดมากและมีน้ำหนักหรือความชื้นที่เพียงพอจะสามารถทำปฏิกิริยากับแคลเซียมไฮดรอกไซด์

ที่อุณหภูมิปกติทำให้ได้สารประ กอบที่มีคุณสมบัติในการยึดประสาน วัสดุจำพวกนี้ได้แก่ เถ้าถ่านหิน เถ้าแกลบ ตะกรันเหล็ก และซิลิกาฟูม เป็นต้น ซึ่งเป็นของเหลือใช้ (Waste) จากโรงงานอุตสาหกรรม

2.5 ปฏิกิริยาปูซซิลอน

เกิดจากปฏิกิริยาที่สารประกอบคัลเซียมชิลิกะไนเตรท ทำปฏิกิริยา กับน้ำทำให้ซีเมนต์เพสท์เกิดเป็นวัุน (Gel) และแคลเซียมไอกรองไไซด์ต่อเนื่องมาจากปฏิกิริยาไอยเครชั่น ส่วนแคลเซียมไอกรองไไซด์ ทำให้ซีเมนต์เพสท์ มีคุณสมบัติเป็นด่าง (ช่วยป้องกันการเกิดสนิมในเหล็กเสริม) แคลเซียมไอกรองไไซด์นี้จะทำปฏิกิริยาต่อไปอีก กับ วัสดุที่มีธาตุซิลิกาและอลูมิโนไฟล์สอย เช่น วัสดุปูซซิลอน เรียกปฏิกิริยานี้ว่าปฏิกิริยาปูซซิลอน (pozzolanic)

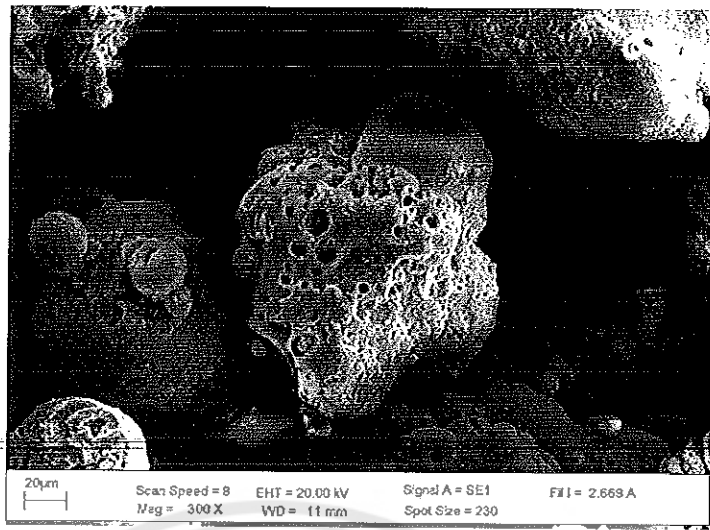


สำหรับการใช้งาน เถ้าโลຍ ซึ่งถือเป็นวัสดุปูซซิลอนชนิดหนึ่ง สามารถนำมาใช้ทดแทนปูนซีเมนต์ปอร์ตแลนด์ได้ ทั้งนี้เนื่องจากการทำปฏิกิริยาปูซซิลอนจะเป็นไปตามสมการ (2.3) และ (2.4) สำหรับค่า x, y เป็นตัวแปรที่ขึ้นอยู่กับซิลิกาและอลูมินา

2.4 เถ้าหนัก

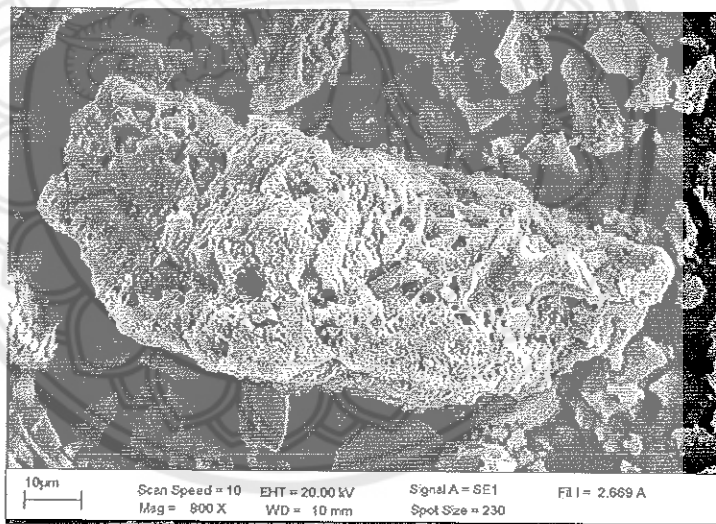
เถ้าหนัก (Bottom Ash) หรือเรียกอีกอย่างหนึ่งว่า “เถ้ากันเตา” เป็นเถ้าที่ได้จากการเผาเถ้าถ่านหินเพื่อ เป็นเชื้อเพลิงในการผลิตกระแสไฟฟ้า เถ้าโลຍจะถูกตักจับไว้ด้วยอุปกรณ์ตักจับด้วยไฟฟ้าสติ๊กส่วนเถ้าหนักจะ หล่นลงในน้ำบริเวณใต้ห้องเผาใหม่ เถ้าหนักมีลักษณะพื้นผิวที่มีรูพรุน มีความถ่วงจำเพาะอยู่ ในช่วง 2.1-2.7 ซึ่งเป็นน้ำหนักโดยรวมเบามาก ประกอบด้วยออกไซด์ของโลหะหลายชนิด เมื่อทดสอบคุณสมบัติการซั่งล้าง ตามวิธี สกัดสารของประกาศกระทรวงอุตสาหกรรม ฉบับที่ 6 (พ.ศ. 2540) พบว่าปริมาณโลหะหนักหรือวัตถุมีพิษในน้ำ สกัดมีค่าไม่เกินมาตรฐาน ซึ่งไม่ถือเป็นของเสียอันตรายสามารถนำไปบดเพื่อใช้ประโยชน์โดยสามารถทดแทน ปูนซีเมนต์ได้ เถ้าหนักมีองค์ประกอบหลักเป็น ชิลิกอนไอกรองไไซด์ (SiO_2) อลูมิโนไอกรองไไซด์ (Al_2O_3) ใน การใช้งาน เถ้าหนักทดแทนปูนซีเมนต์ในปริมาณที่เพิ่มขึ้นจะส่งผลให้ค่าการดูดซึมน้ำเพิ่มขึ้นและทำให้ค่าการทนต่อ แรงอัดลดลงในช่วงต้น แต่จะเพิ่มขึ้นในระยะยาว เนื่องจากระยะเวลาที่เพิ่มขึ้นจะทำให้เกิดปฏิกิริยาให้เข้มข้นทำให้ เกิดการจัดเรียงตัวกันแน่น และเกิดการอุดช่องว่างภายในเนื้อซีเมนต์

เถ้าหนักซึ่งเกิดจากการรวมตัวของเถ้าถ่านหินที่ถูกหลอมเหลวและมีขนาดค่อนข้างใหญ่มีความพรุนสูงเมื่อ นำเถ้าหนักมาบดละเอียดจะทำให้ค่ากำลังอัดสูงขึ้นตามความละเอียดที่เพิ่มขึ้น ในการแทนที่ปูนซีเมนต์ปอร์ตแลนด์ด้วยเถ้าหนักจะทำให้กำลังสูงขึ้นตามอายุการบ่ม แต่ค่ากำลังอัดจะลดลงเมื่อแทนที่ด้วยเถ้าหนัก เนื่องจาก เถ้าหนักจะลดปริมาณความต้องการน้ำ [4]



ภาพที่ 2.1 ภาพถ่ายอนุภาคของเด้าหนักจากกล้องจุลทรรศน์อิเล็กตรอนแบบส่องกราด

จากการที่ 2.1 เด้าหนักก่อนบดมีขนาดอนุภาคใหญ่และมีความพุดrunสูง หากนำไปใช้งานจะทำให้ค่ากำลังอัดลดลงแต่หากนำไปปรับปรุงขนาดด้วยการบดพบว่า จะทำให้เด้าหนักมีขนาดอนุภาคที่เล็กลง



ภาพที่ 2.2 ภาพถ่ายอนุภาคของเด้าหนักที่ผ่านการบดละเอียดเป็นเวลา 24 ชั่วโมง

จากกล้องจุลทรรศน์อิเล็กตรอนแบบส่องกราด

จากการที่ 2.2 พบว่า เด้าหนักมีความพุดrunสูง มีรูปร่างเป็นเหลี่ยมเป็นมุม และสภาพที่ต้องปรับปรุงขนาดอนุภาคให้มีความละเอียด สามารถเข้าไปแทรกตัวในโพรงที่ใหญ่ และทำให้คุณภาพมีความหนาแน่นเพิ่มมากขึ้น

2.5 องค์ประกอบทางเคมีของเด้าหนัก

องค์ประกอบหลักทางเคมีของวัสดุปูชิโอลานคือ ซิลิกาออกไซด์ (SiO_2) และอัลูมิโนออกไซด์ (Al_2O_3) จะเข้าทำปฏิกิริยากับต่างคือ แคลเซียมไฮดรอกไซด์ (Ca(OH)_2) เรียกปฏิกิริยานี้ว่าปฏิกิริยาปูชิโอลาน ผลที่ได้จากปฏิกิริยาดังกล่าวคือ แคลเซียมซิลิกेटไชเดรต (CSH) หรือแคลเซียมอัลูมิเนตไชเดรต (CAH) ทั้งแคลเซียมซิลิกेटไชเดรต และแคลเซียมอัลูมิเนตไชเดรต จะทำให้กำลังอัดของคอนกรีตหรือปูนซีเมนต์สูงขึ้น และลดช่องว่างระหว่างปูนซีเมนต์ ทำให้มีความทึบແ�่นมากขึ้น และอัตราการดูดซึมน้ำลดลงตามไปด้วย [4] เด้าหนักมีองค์ประกอบทางเคมีคือ ซิลิกาออกไซด์ (SiO_2)

2.8 การทดสอบวรรณกรรม/สารสนเทศ (Information) ที่เกี่ยวข้อง

วัลลภ และคณะ [16] ศึกษาความต้านทานการบ่อน掉 กำลังอัด และความพรุนของคอนกรีตที่ผสมเด้าหนัก ใช้เด้าหนัก 3 ขนาดในการศึกษานี้ คือ เด้าหนักหิน เด้าหนักละเอียดปานกลาง และเด้าหนักละเอียดมาก โดยใช้เด้าหนักในการทดสอบปูนซีเมนต์บางส่วนในอัตราส่วนร้อยละ 0-40 โดยน้ำหนักวัสดุประสาน จากผลการทดสอบในงานวิจัยนี้แสดงให้เห็นว่า เด้าหนักขนาดละเอียดสามารถใช้ทดแทนปูนซีเมนต์ปอร์ตแลนด์บางส่วน โดยให้กำลังอัดสูงและความพรุนต่ำ โดยสามารถใช้ทดแทนในปริมาณร้อยละ 10-20 ต่อน้ำหนักวัสดุประสาน

Tarogon และคณะ [17] ได้ศึกษาผลของวัสดุปูชิโอลานจากธรรมชาติ โคลามาインต์ เล้าโลย และเด้าหนัก ต่อสมบัติของซีเมนต์ และคอนกรีต ในงานวิจัยนี้ได้ทำการทดสอบกำลังอัด การทดสอบความแข็งแรงด้วยการตัด การขยายตัวเชิงปริมาณ และเวลาในการแข็งเช็ตตัว โดยจะทดสอบที่ตัวอย่างเด้าหนักร้อยละ 10 เด้าหนักร้อยละ 10 และโคลามาインต์ร้อยละ 4 โดยการทดสอบปูนซีเมนต์ปอร์ตแลนด์ด้วยวัสดุปูชิโอลาน จากธรรมชาตินั้น จะอยู่ในช่วงร้อยละ 5-30 และจากการศึกษาระยะเวลาในการแข็งเช็ตตัวของปูนซีเมนต์จะอยู่ในช่วงปกติ ในการนำวัสดุปูชิโอลานมาทดสอบปูนซีเมนต์จะทำให้เร่งการเช็ตตัว ส่วนผลกระทบทดสอบกำลังอัด อัตราส่วนการแทนที่ที่ทำให้ค่ากำลังอัดเพิ่มขึ้นคือร้อยละ 5 เมื่อเทียบกับคอนกรีตควบคุม

Singha และ Siddiqueb [18] ได้ประเมินตักษิภพของเด้าหนักในการใช้ประโยชน์ในงานคอนกรีต เพื่อความประยุตและอนุรักษ์ธรรมชาติ โดยงานวิจัยนี้จะใช้เด้าหนักทดสอบรายในอัตราส่วนต่าง ๆ จากผลการทดสอบพบว่าคอนกรีตที่ผสมเด้าหนักมีความแข็งแรงและทนต่อการรับแรงอัดได้ดี และสามารถต้านทานคลอไรอ้อนหรือซัลเฟตได้ดีกว่าคอนกรีตธรรมชาติที่ไม่มีส่วนผสมของเด้าหนัก จากผลการศึกษาทดสอบโดยการแข็งคืบอัตโนมัติที่ให้ไว้ในสารลักษณะนี้เพิ่มขึ้น 10% ที่ระยะเวลาในการบ่ม 180 วัน

Garcia [19] และคณะได้ดำเนินถึงการอนุรักษ์ทรัพยากรธรรมชาติ โดยงานวิจัยส่วนใหญ่จะนำเอาเด้าโลยมาใช้ทดแทนปูนซีเมนต์ในงานคอนกรีต ซึ่งเป็นวัสดุปูชิโอลานที่ได้ที่ยอมรับกันโดยทั่วไป เพราะห้องเพิ่มคุณสมบัติในด้านความแข็งแรงและความทนทาน ซึ่งในงานวิจัยนี้มุ่งเน้นที่จะศึกษาการนำเด้าหนัก มาใช้ทดแทนปูนซีเมนต์โดยเตรียมชิ้นงานเป็นมอร์tar และทำการทดสอบกำลังอัดที่ 80 วัน จากการทดลองพบว่าเกิดการสูญเสียกำลังอัดเล็กน้อย แต่อย่างไรก็ตามค่ากำลังอัดของมอร์tar จะสูงกว่าปูนซีเมนต์ควบคุมถึง 12% ในระยะเวลา 1 ปี

นอกจากนี้ยังมีหลาย ๆ งานวิจัยที่ได้ศึกษาผลของสารเติมแต่งต่อคุณสมบัติของปูนซีเมนต์ที่ผสมวัสดุปูชิโอลาน โดย Yazici [20] พบว่ากำลังอัดของมอร์tar ที่มีการใช้ซิลิกาฟูมร่วมกับเด้าโลย และตะกรันเหล็กมีค่าเพิ่มขึ้นมากกว่ามอร์tar ของปูนซีเมนต์ล้วน ในปี 2010 Chaipanich [21] ได้พบว่าการทำปฏิกิริยาของเด้าโลยในปูนซีเมนต์จะเกิดขึ้นได้ช้ามากในช่วงต้น ซึ่ง

ได้เติมชีวิตกาญจน์เข้าไปเพื่อช่วยเร่งปฏิกริยาปอชโซลานนิกของเก้าครอบ โดยในงานวิจัยนี้ได้ชี้ให้เห็นว่าชีวิตกาญจน์สามารถช่วยเพิ่มกำลังอัดของปูนซีเมนต์มอร์ตาร์ที่ผสมเก้าครอบได้จริงโดยเฉพาะอย่างยิ่งที่ระยะเวลา 28 วัน นอกจากนี้ยังช่วยเร่งปฏิกริยาปอชโซลานของเก้าครอบให้เร็วขึ้นอีกด้วย ในปี 2012 Wongkeo และคณะ [22] พบว่าการเติมชีวิตกาญจน์เข้าไปในปูนซีเมนต์มอร์tar ที่ผสมเก้าหนัก จะช่วยเพิ่มคุณสมบัติของมอร์tarนั้น นอกจากนี้ Nochailaya [15] ยังพบว่าการออกจากการเติมชีวิตกาญจน์จะช่วยปรับปรุงกำลังอัด และการก่อตัวร率เริ่มต้นให้แก่ปูนซีเมนต์ผสมเก้าครอบแล้ว ชีวิตกาญจน์ยังทำให้โครงสร้างเนื้อของซีเมนต์มอร์tar มีความแน่นตัวสูง โดยเข้าไปอุดช่องว่างของมอร์tar

อย่างไรก็ตามงานวิจัยที่เกี่ยวกับการใช้งานเก้าหนักในงานคอนกรีตให้มีประสิทธิภาพก็ยังไม่มากนักเมื่อเทียบกับเก้าครอบ (Fly ash) ซึ่งมีมาตรฐานในการควบคุมสำหรับการนำไปใช้งาน ดังนั้นในงานวิจัยนี้จึงมีแนวคิดที่จะพัฒนาการใช้เก้าหนัก เพื่อให้สามารถนำมาใช้ในงานคอนกรีตแบบยั่งยืน โดยจะทำการศึกษาผลกระทบของสารเติมแต่งต่อสมบัติเชิงกล สมบัติทางกายภาพ ความหนาแน่น และการเกิดปฏิกริยาของปูนซีเมนต์มอร์tar ที่ผสมเก้าหนัก

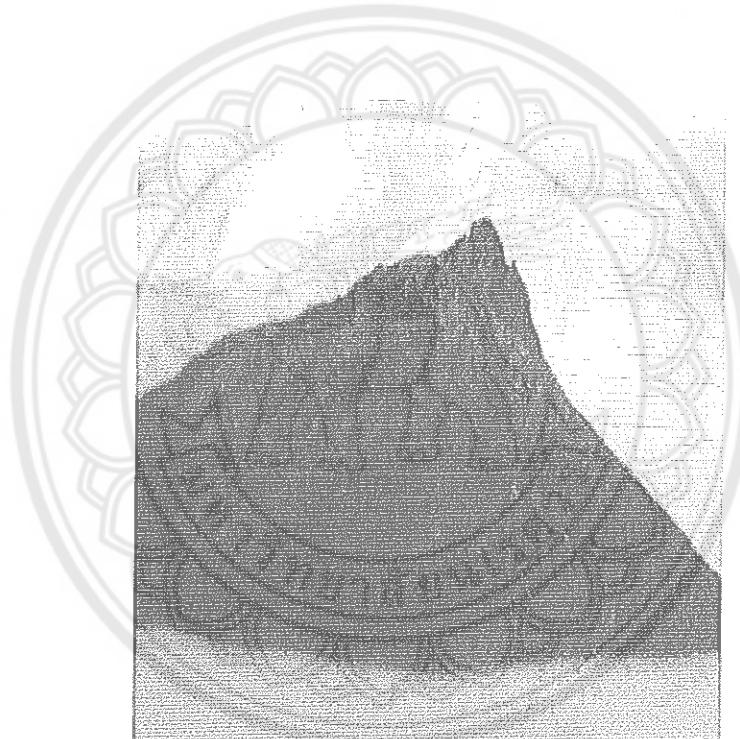


บทที่ 3

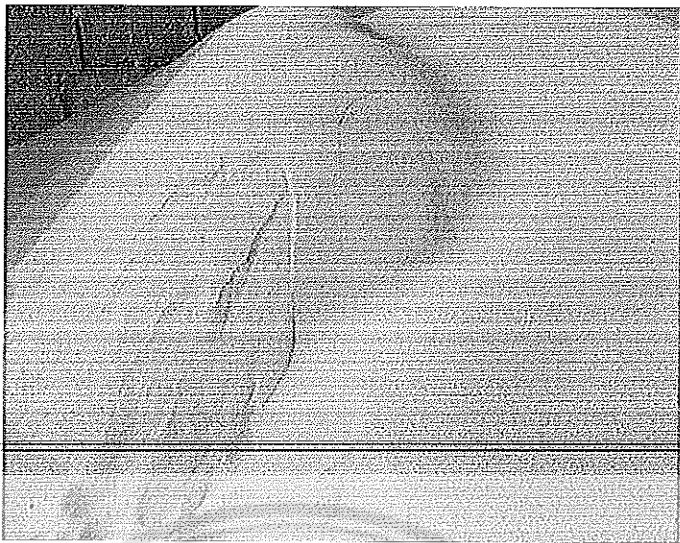
วิธีการทดลอง

3.1 วัสดุที่ใช้ในการทดลอง

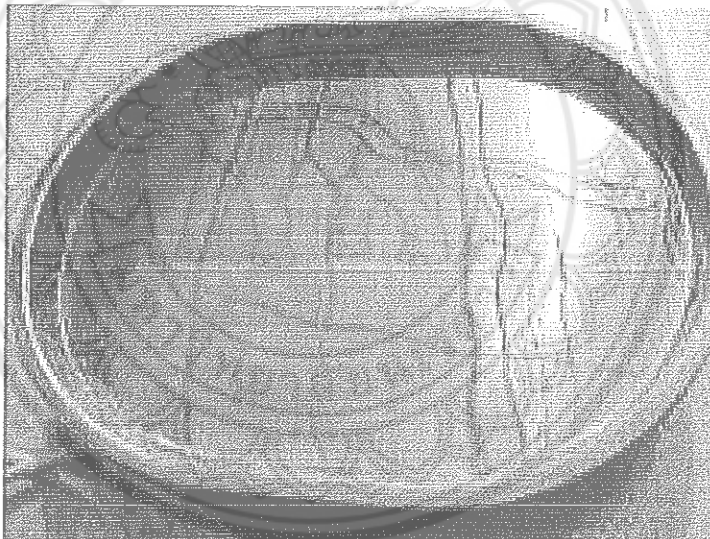
- 3.1.1 เถ้าหัก (ภาพที่ 3.1)
- 3.1.2 ปูนซีเมนต์ปอร์ตแลนด์ประเภท 1
- 3.1.3 ทราย (ภาพที่ 3.2)
- 3.1.4 น้ำ (ภาพที่ 3.3)
- 3.1.5 แคลเซียมไอกอเรกไซด์
- 3.1.6 อัลจิโนน



ภาพที่ 3.1 เถ้าหัก



ภาพที่ 3.2 ทรัพย์

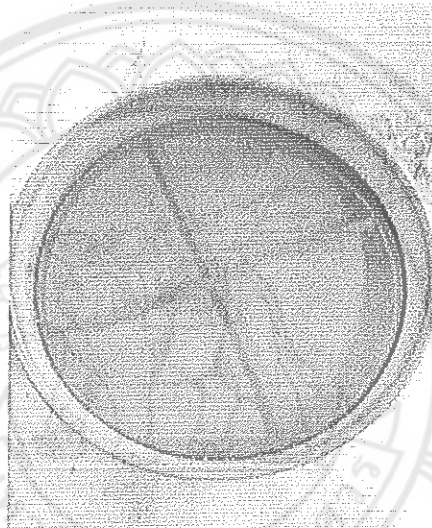


ภาพที่ 3.3 น้ำ

3.2 อุปกรณ์และเครื่องมือที่ใช้ในงานวิจัย

- 3.2.1 เครื่องซึ่งอ่านได้ละเอียดไม่น้อยกว่า 1 กรัม
- 3.2.2 ตะแกรงลวด (ภาพที่ 3.4)
- 3.2.3 ขวดปากกว้าง (ภาพที่ 3.5)
- 3.2.4 เครื่องบดสาร (ภาพที่ 3.6)
- 3.2.5 ฟรอยด์ (ภาพที่ 3.7)

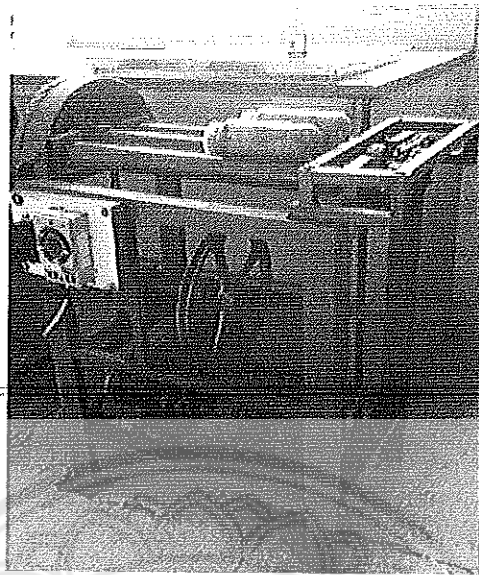
- 3.2.6 ภาชนะสำหรับดวงซีเมนต์ ทราย และน้ำ
- 3.2.7 เครื่องผสมปูน (ภาพที่ 3.8)
- 3.2.8 ถุงมือยาง และแมสปิดจมูก (ภาพที่ 3.9)
- 3.2.9 แบบหล่อมอร์ตาร์ขนาด $5 \times 5 \times 5 \text{ cm}^3$ (ภาพที่ 3.10)
- 3.2.10 เกรียงเหล็กโป้า (ภาพที่ 3.11)
- 3.2.11 แท่งกระทุง (ภาพที่ 3.12)
- 3.2.12 พลาติกห้มอาหาร และปากกา permanent
- 3.2.13 ครกบดเซรามิก
- 3.2.14 ห่อพลาสติก
- 3.2.15 ติ่มน้ำมัน



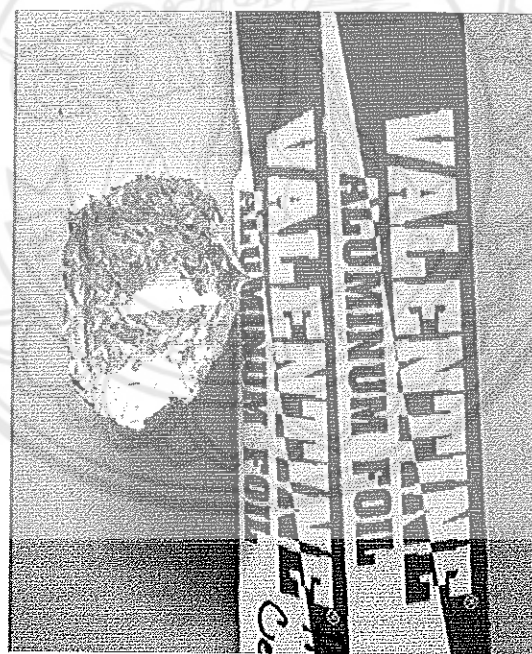
ภาพที่ 3.4 ตะแกรงลวด



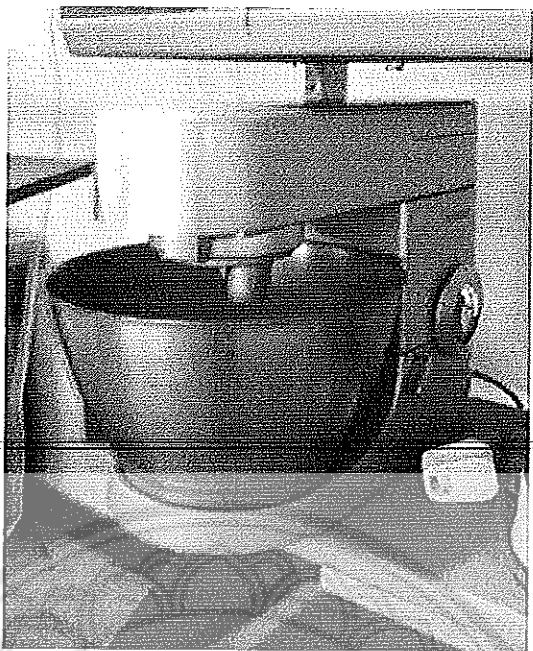
ภาพที่ 3.5 ชุดปากกว้าง



ภาพที่ 3.6 เครื่องบดสาร



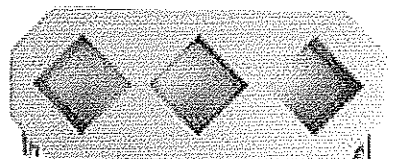
ภาพที่ 3.7 ฟรอยด์



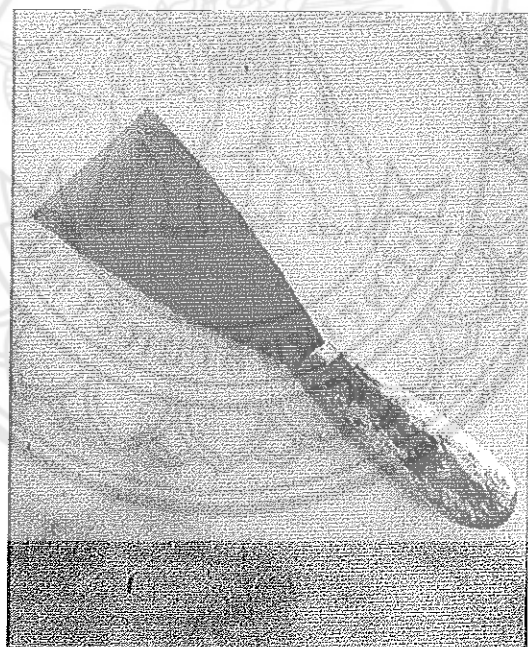
ภาพที่ 3.8 เครื่องผสมปูน



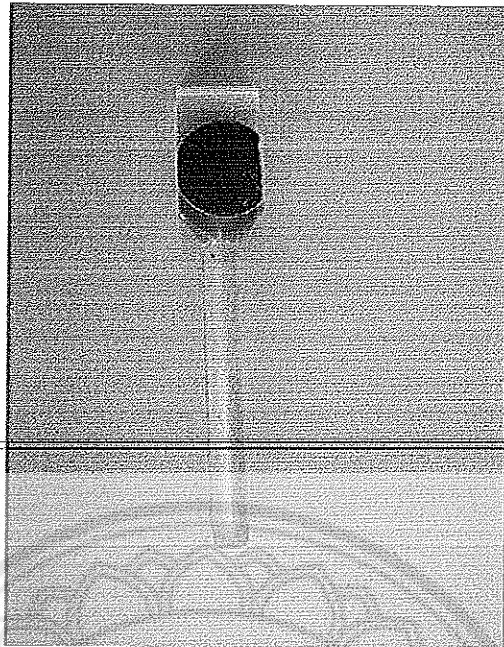
ภาพที่ 3.9 ถุงมีอย่าง และแมสปีดจูก



ภาพที่ 3.10 แบบหล่อเมอร์ตาร์ขนาด $5 \times 5 \times 5 \text{ cm}^3$



ภาพที่ 3.11 เครื่องเหล็กปีว



ภาพที่ 3.12 แท่งกระหุง

3.3 การเตรียมวัสดุ

- นำถ่านหักมากร่อนด้วยตะแกรงลวด เพื่อคัดเอาถ่านหักที่มีอนุภาคขนาดใหญ่กว่า 0.5 มิลลิเมตรออก
- ซึ่งถ่านหักที่ผ่านการกร่อนแล้ว 100 กรัม ต่อเม็ดบดเซอร์โคเนียม 500 กรัม
- นำสารตั้งต้นมาใส่ในขวดพลาสติกปากกว้างที่มีเม็ดบดเซอร์โคเนียมบรรจุอยู่ แล้วนำไปวางบนเครื่องบดสารเพื่อบดย่อยผสมสารแบบ ball-milling ทำการบดย่อยผสมสารเป็นเวลา 24 ชั่วโมง
- เมื่อบดย่อยถ่านหักครบ 24 ชั่วโมงแล้ว ทำการแยกเม็ดบดออกจากผงถ่านหักแล้วนำถ่านหักที่ได้ไปทดลองปูนซีเมนต์ในขั้นตอนต่อไป

3.4 การผสมซีเมนต์มอร์ตาร์ และการเตรียมการทดสอบ

3.4.1 ขั้นตอนการผสมซีเมนต์มอร์ตาร์

- เตรียมอุปกรณ์ เครื่องมือ ให้สะอาดและแห้ง
- เทน้ำที่เตรียมไว้ลงในอ่างผสม
- เติมปูนซีเมนต์ลงในน้ำ และเดินเครื่องเกียร์ 1 (140 ± 5 รอบต่อนาที) เป็นเวลา 30 วินาที
- ในขณะเดินเครื่องผสมเกียร์ 1 ให้เติมทรายลงในอ่างผสมอย่างช้าๆให้หมด ภายในเวลา 30 วินาที
- หยุดเครื่องผสม และเปลี่ยนอัตราความเร็วเป็นเกียร์ 2 (285 ± 10 รอบต่อนาที) แล้วเดินเครื่องผสมต่อไปอีก 30 วินาที

6. หยุดเครื่องผสมเป็นเวลา 1:30 นาที แล้วให้รับชุดปูนมอร์ตาร์ที่ติดอยู่ข้างๆ ่อ่างผสมให้เสร็จ ภายในเวลา 15 วินาที และใช้ฝาปิดอ่างผสมเดินเครื่องผสมต่อไปอีก 1 นาที ด้วยอัตราความเร็วเป็นเกียร์ 2 (285 ± 10 รอบต่อนาที) เป็นอันเสร็จการผสม

3.4.2 การเตรียมตัวอย่างทดสอบ

1. ผสมปูนซีเมนต์มอร์ตาร์ตามสูตร ดังแสดงในตารางที่ 3.1
2. นำปูนซีเมนต์มอร์ตาร์มาหล่อในแบบหล่อขนาด $50 \times 50 \times 50 \text{ cm}^3$ ที่สะอาดและทันน้ำมันบางๆ ไว้ เรียบร้อยแล้ว (สาเหตุที่ทันน้ำมันเพื่อทำให้เวลาแห้งปูนออกจากแบบเป็นไปได้สะดวก)
3. เอาปูนซีเมนต์มอร์ตาร์ที่ได้ในข้อ 2 ของแบบหล่อขนาด $50 \times 50 \times 50 \text{ cm}^3$ ออกจากการหุ้งตัวอย่างเท่านั้น จำนวน 32 ครั้ง ภายใน 10 วินาที โดยกระหุ้งเป็น 4 รอบ แต่ละครั้งกระหุ้งให้ตั้งฉากให้ทั่วแบบหล่อ ดังรูป 3.13

4	5
3	6
2	7
1	8

ครั้งที่ 1 และ 3

1	2	3	4
8	7	6	5

ครั้งที่ 2 และ 4

ภาพที่ 3.13 ลักษณะการกระหุ้มมอร์ตาร์

4. ใส่มอร์ตาร์ในช่องแบบหล่ออีก 2 ใน 3 แล้วกระหุ้งเข็นเดียวกับชั้นแรก
5. ใส่มอร์ตาร์ที่เหลือในช่องแบบหล่อให้บูนสูงกว่าขอบ แล้วกระหุ้งเข็นเดียวกัน เมื่อกระหุ้งเสร็จแล้วมอร์ตาร์ควรสูงกว่าขอบเล็กน้อย
6. ใช้เกรียงปัดมอร์ตาร์ให้มีผิวน้าที่เรียน วิธีปัดควรเรียงเกรียงเล็กน้อยและค่อยๆ ปัดจะทำให้ผิวน้าเรียบ เร็วขึ้น และใช้เกรียงปัดเบาๆ อีก 1 ครั้งตลอดความยาวของแบบหล่อ โดยใช้ขอบเกรียงวางทำมูมเล็กน้อย แล้วขยับเกรียงไปมาตลอดความยาวของแบบหล่อ
7. หลังจากหล่อแบบเรียบร้อยแล้วให้คลุมด้วยพลาสติกหุ้มอาหารคลุมไว้ 24 ชั่วโมง จากนั้นทำการถอดแบบ และนำขึ้นงานมอร์ตาร์ไปปั่นในน้ำสะอาดที่ระยะเวลา 7, 14, 28 และ 90 วัน นำไปทดสอบกำลังอัดด้วยเครื่อง Compressive strength tester

ตารางที่ 3.1 อัตราส่วนผสมระหว่างปูนซีเมนต์ปอร์ตแลนด์ (PC) กับเต้าหันก (BA)

ส่วนผสม	ร้อยละการแทนที่		สารเติมแต่ง
	PC	BA	
PC	100	-	-
10BA	90	10	-
10BA2.5CH	90	10	2.5
10BA5CH	90	10	5
20BA	80	20	-
20BA5CH	80	20	5
20BA10CH	80	20	10
30BA	70	30	-
30BA5CH	70	30	5
30BA10CH	70	30	10

อัตราส่วนน้ำต่อวัสดุประสาน = 0.5, ทรายต่อวัสดุประสาน = 2.5

3.5 การผสมซีเมนต์เพสต์ และการเตรียมการทดสอบ

1. เตรียมอุปกรณ์ เครื่องมือ ที่สะอาดและแห้งเท่านั้นที่เตรียมไว้ลังในภาชนะที่ใช้ผสมเติมส่วนผสมลงไป ในน้ำ ก่ออย่างคนซีเมนต์เพสต์ให้เข้ากันอย่างช้าๆ เป็นเวลา 30 วินาที จากนั้นให้คนซีเมนต์เพสต์ให้เร็วขึ้นคนต่อไปอีก 30 วินาที
2. หยุดคนเป็นเวลา 1:30 นาที แล้วให้รับซุกซีเมนต์เพสต์ที่ติดอยู่ข้างๆ ภาชนะผสมให้เสร็จภายใน เวลา 15 วินาที แล้วใช้ฝาปิด จากนั้นคนต่อไปอีก 1 นาที ด้วยอัตราความเร็วพอเหมาะสมเป็นอัน เสร็จการผสม
3. เตรียมแบบหล่อเพสต์ที่ทำจากห่อพลาสติกขนาดเส้นผ่าศูนย์กลางประมาณ 1.5 cm และสูง ประมาณ 3.5 cm ซึ่งวางยึดกับพื้นไว้ด้วยดินน้ำมัน
4. จากนั้นนำเพสต์ที่ผสมแล้วเทลงในแบบหล่อ ใช้พลาสติกหุ้มอาหารคลุมไว้ 24 ชั่วโมง แล้วถอดเพสต์ ออกจากแบบหล่อ จากนั้นนำไปบ่มในน้ำสะอาดที่ระยะเวลา 7 และ 28 วัน
5. เมื่อครบระยะเวลาที่บ่มในน้ำให้นำเพสต์มาแข็งซีตันเพื่อทดสอบการทำปฏิกิริยาเป็นเวลา 24 ชั่วโมง 6. จากนั้นนำออกจากซีตันและนำไปอบไว้ความชื้นเป็นเวลา 24 ชั่วโมง
7. ทำการรักษาชิ้นงานเลือกชิ้นที่เป็นระนาบเพื่อนำไปศึกษาโครงสร้างทางจุลภาคด้วยกล้อง SEM
8. ทำการบดชิ้นงานที่เหลือด้วยกราเซรามิกให้ละเอียดเพื่อนำไปวิเคราะห์องค์ประกอบทางเคมีด้วย เครื่อง XRD

ว. ๗๙
๔๔๑
๗๖๐



1024078

3.6 วิธีการทดสอบ

3.6.1 การทดสอบสมบัติเชิงกลของปูนซีเมนต์มอร์ตาร์

การทดสอบกำลังอัดของปูนซีเมนต์มอร์tar โดยใช้มอร์tarขนาด $50 \times 50 \times 50$ ลูกบาศก์เซนติเมตร เพื่อทดสอบกำลังอัด โดยใช้ระยะเวลาการบ่มที่ 7, 14, 28 และ 90 วัน เมื่อครบกำหนดดังกล่าว ขึ้นงานมอร์tar จะถูกนำไปทดสอบกำลังอัดตามมาตรฐาน ASTM C 109 [8] โดยเครื่อง compressive strength tester และใช้แรงในการกด (dF/dT) อยู่ในช่วง 0.9-1.8 KN/s (ในงานวิจัยนี้ใช้แรงในการกด = 1.2 KN/s) ในการทดสอบกำลังอัดของซีเมนต์มอร์tar ในแต่ละสูตรจะใช้มอร์tarจำนวน 3 ก้อน จากนั้นนำกำลังอัดที่ได้มาหาค่าเฉลี่ยและเปรียบเทียบกับซีเมนต์ควบคุม (สูตรที่ใช้ PC 100%)

การคำนวณค่ากำลังรับแรงอัด (Compressive Strength) ของซีเมนต์มอร์tar หาได้จากสมการ (3.1)

$$f_c = \frac{P}{A} \quad (3.1)$$

โดยที่

f_c = กำลังรับแรงอัดประลัย มีหน่วยเป็น กก/ตร.ซม. หรือ ปอนด์/ตร.นิ้ว

P = แรงอัด มีหน่วยเป็น กก. หรือ ปอนด์

A = พื้นที่หน้าตัดของแท่งตัวอย่าง มีหน่วยเป็น ตร.ซม. หรือ ตร.นิ้ว

3.6.2 ทางกายภาพของปูนซีเมนต์มอร์tar

การทดสอบหากาณฑ์ความหนาแน่น ความพรุน และการดูดซึมน้ำของปูนซีเมนต์มอร์tar จะทดสอบตาม มาตรฐาน ASTM C 642-06 [9] โดยจะใช้มอร์tarซึ่นเดียวกันกับการทดสอบกำลังอัด โดยค่าที่ได้จะเป็นค่าเฉลี่ย จากการทดสอบสัดส่วนละ 3 ก้อนตัวอย่าง ซึ่งหลังจากที่ทดสอบกำลังอัดเรียบร้อยแล้ว จะนำชิ้นส่วนมอร์tarที่เหลือมาตากเด็ดเป็นเวลา 24 ชั่วโมง เพื่อให้แน่ใจว่ามอร์tarนั้นแห้งสนิท นำมาซึ่งน้ำหนัก (มวลแห้ง) และจดบันทึก (A) จากนั้นนำมอร์tarที่ซึ่งน้ำหนักเรียบร้อยแล้วนำไป秤ไว้ในน้ำเป็นเวลา 24 ชั่วโมง และจึงทำการซึ่งน้ำหนักในน้ำ (มวลเบี่ยก) และจดบันทึก (C) จากนั้นนำมอร์tarที่ซึ่งน้ำหนักในน้ำแล้ว นำขึ้นมาซับน้ำ และซึ่งน้ำหนัก (มวลหมาย) และจดบันทึก (B) จากนั้นนำค่าที่ได้ไปคำนวณหา การดูดซึมน้ำ ความหนาแน่น และความพรุน ดังสมการ (3.2) – (3.4) ตามลำดับ

- การดูดซึมน้ำหลังจากการบ่ม

$$\text{การดูดซึมน้ำ (\%)} = \left| \frac{(B-A)}{A} \right| \times 100 \quad (3.2)$$

- ความหนาแน่นปรากฏ

$$\text{ความหนาแน่นปรากฏ (g/cm}^3\text{)} = \left| \frac{A}{(A-C)} \right| \times \rho \quad (3.3)$$

● ความพรุน

$$\text{ความพรุน (\%)} = \left| \frac{(B-A)}{(B-C)} \right| \times 100 \quad (3.4)$$

โดยที่

A = มวลแห้งซึ่งในอากาศ (g)

B = มวลมาตรฐานการแขวนน้ำ (g)

C = มวลซึ่งในน้ำ (g)

ρ = ความหนาแน่นของน้ำ (1 g/cm^3)

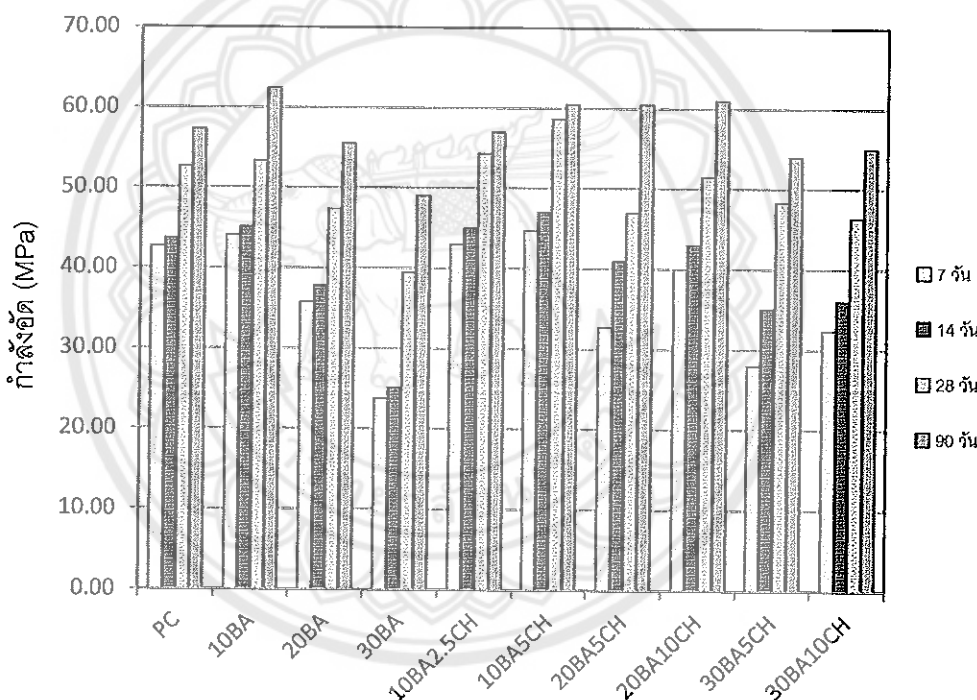


บทที่ 4

ผลการทดลองและอภิปรายผลการทดลอง

4.1 กำลังอัดของมอร์tar

ในการทดลองได้ศึกษาการพัฒนากำลังอัดของปูนซีเมนต์ปอร์ทแลนด์ผสมถ่านหินก้าที่ผ่านการบดเป็นเวลา 24 ชั่วโมงโดยใช้ถ่านหินทดสอบบนปูนซีเมนต์ในอัตราส่วนร้อยละ 10, 20, และ 30 และเติมสารเติมแต่งแคลเซียมไออกไซด์ โดยทำการเปรียบเทียบค่ากำลังอัดเฉลี่ยจากตัวอย่างชิ้นงานละ 3 ก้อน ของตัวอย่างเทียบกับปูนซีเมนต์ปอร์ทแลนด์ล้วน ดังแสดงในรูปที่ 4.1 พบร้าในการแทนที่ปูนซีเมนต์ด้วยถ่านหินในอัตราส่วนร้อยละ 10 จะมีค่ากำลังอัดสูงกว่าซีเมนต์มอร์tarควบคุม



ภาพที่ 4.1 กำลังอัดของปูนซีเมนต์มอร์tarที่ผสมถ่านหิน (BA) ที่ผ่านการบดที่เวลา 24 ชั่วโมง
ที่อัตราส่วนการแทนที่ปูนซีเมนต์ 10-30%

ที่ระยะเวลาการบ่ม 7 วันจะเห็นว่าค่ากำลังอัดจะมีค่าน้อยกว่า 90 วัน ทั้งนี้เนื่องจากการทำปฏิกิริยาปอชโซลาน ของถ่านหินเกิดขึ้นภายหลังจากปฏิกิริยาไออกไซเดรชันของปูนซีเมนต์ คือ ชิลิกอนไดออกไซด์ในวัสดุปอชโซลานจะทำปฏิกิริยากับแคลเซียมไออกไซด์ได้เป็นสารประกอบแคลเซียมชิลิกेटไเครตซึ่งเป็นสารยืดประสาน และเป็นตัวช่วยเพิ่มความแข็งแรงให้กับมอร์tar [10] โดยปฏิกิริยาปอชโซลานิกจะเกิดค่อนข้างสูงที่

ระยะเวลาบ่ม 90 วัน และมอร์ตาร์ที่ใส่สารเติมแต่งแคลเซียมไฮดรอกไซด์จะมีค่ากำลังอัดสูงกว่ามอร์ตาร์ที่ไม่ได้เติมแคลเซียมไฮดรอกไซด์ทั้งนี้เนื่องจากเกิดปฏิกิริยาปอชโซลานไปพร้อมกับปฏิกิริยาไฮเดรชัน ซึ่งสอดคล้องกับค่ากำลังอัดของมอร์ตาร์ที่ผสมถ้าหนักที่ผ่านการบดเป็นเวลา 24 ชั่วโมง ที่ระยะเวลาบ่มที่ 90 วัน ของสูตร 10BA ที่มีค่ากำลังอัดใกล้เคียงกับมอร์ตาร์ควบคุม อีกทั้งสูตร 10BA ยังมีค่ากำลังอัดสูงกว่ามอร์ตาร์ควบคุมในทุกๆ ระยะเวลา ดังตารางที่ 4.1

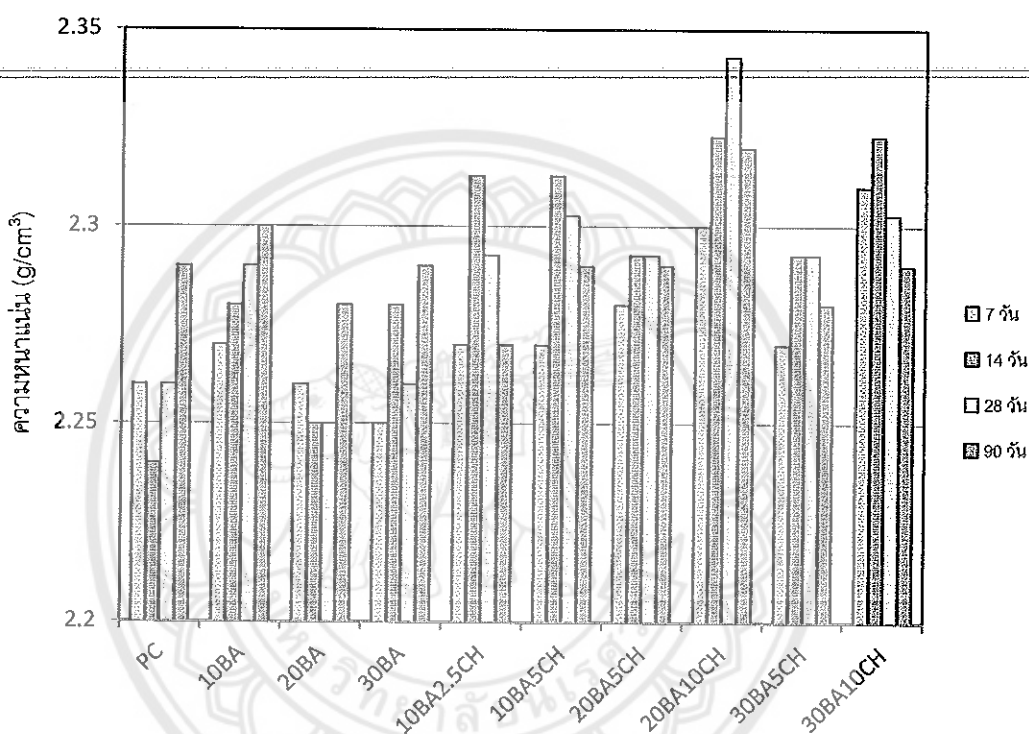
ตารางที่ 4.1 กำลังอัดสัมพัทธ์ที่ระยะเวลาการบ่ม 7, 14, 28 และ 90 วัน เทียบกับมอร์ตาร์ควบคุม

สูตร	กำลังอัดสัมพัทธ์ (%)			
	7 วัน	14 วัน	28 วัน	90 วัน
PC	100	100	100	100
10BA	103	104	101	109
10BA2.5CH	101	103	103	99
10BA5CH	105	108	111	106
20BA	84	87	94	97
20BA5CH	77	94	89	106
20BA10CH	94	98	98	106
30BA	55	58	75	86
30BA5CH	66	80	92	94
30BA10CH	76	82	88	96

ค่ากำลังอัดของมอร์ตาร์จะเพิ่มสูงขึ้นเมื่อระยะเวลาการบ่มมากขึ้นซึ่งเกิดจากปฏิกิริยาปอชโซลานของถ้าหนักที่เพิ่มมากขึ้น ส่วนในอัตราส่วนการแทนที่ของถ้าหนักหากเพิ่มปริมาณการแทนที่จะทำให้ค่ากำลังอัดลดลงดังนั้น อัตราส่วนที่เหมาะสมคือการแทนที่ถ้าหนักในอัตราส่วนร้อยละ 10 คือสูตร 10BA แต่หากคำนึงถึงสูตร 10BA5CH จะมีค่ากำลังอัดสูงกว่า 10BA ในทุกๆ ระยะเวลาการบ่มเนื่องจากมีการทำปฏิกิริยาปอชโซลานมากขึ้นนั่นเอง และเมื่อพิจารณาสูตร 20BA จะเห็นว่าทุกระยะเวลาการบ่มจะมีค่ากำลังอัดน้อยกว่ามอร์ตาร์ควบคุม แต่อยู่ในช่วงที่ไม่ต่างกันกว่า 80 เปอร์เซ็นต์ จึงสามารถนำไปใช้งานได้

4.2 ความหนาแน่น

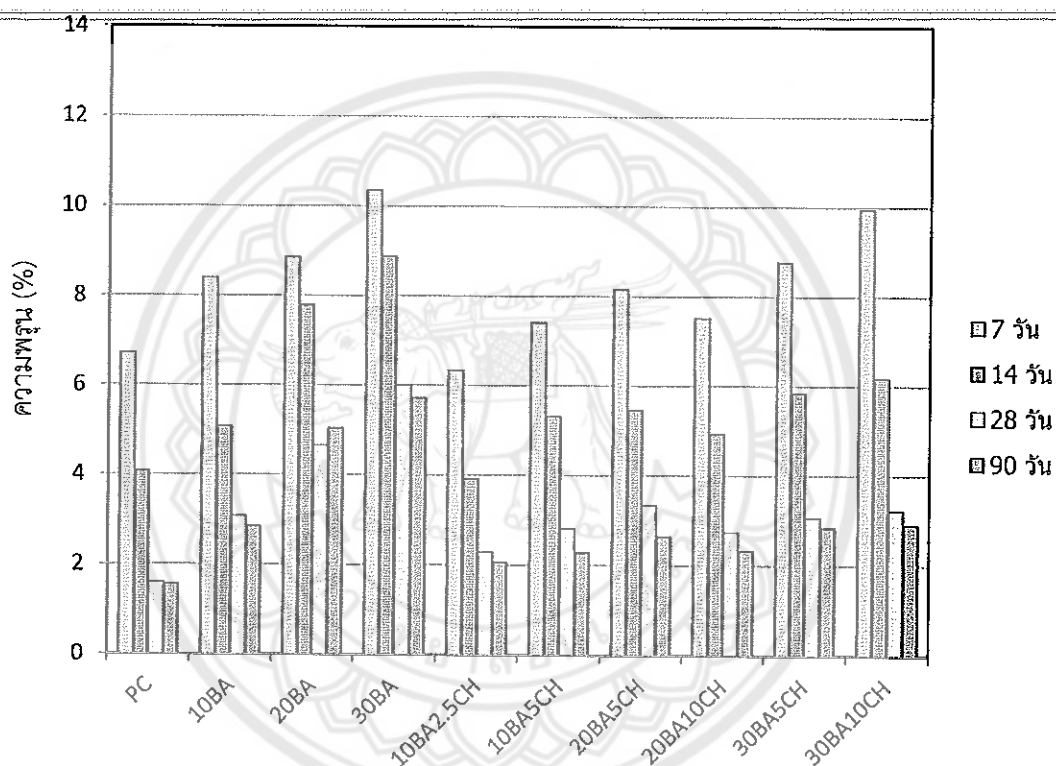
จากภาพที่ 4.2 จะเห็นว่าความหนาแน่นของปูนซีเมนต์มอร์ตาร์ที่ผ่านการบดเป็นเวลา 24 ชั่วโมงในทุกๆ ระยะเวลาการบ่ม จะมีค่าใกล้เคียงกับค่าความหนาแน่นของปูนซีเมนต์มอร์tarควบคุม คืออยู่ในช่วง $2.24 - 2.30 \text{ g/cm}^3$ ทั้งนี้ค่าความหนาแน่นของปูนซีเมนต์ปอร์ทแลนด์ที่ยังไม่ทำปฏิกิริยาจะเท่ากับ 3.15 g/cm^3 (แคลเซียมซิลิกेट) แต่เมื่อมีการทำปฏิกิริยาโดยเรชันกับปฏิกิริยาปอชโซลานิกแล้วจะเกิดเป็นเฟส (แคลเซียมซิลิกेटไฮเดรท) ที่มีความหนาแน่นอยู่ในช่วง $2.3 - 2.6 \text{ g/cm}^3$ [10]



ภาพที่ 4.2 ความหนาแน่นของมอร์тарที่ผ่านการบดด้วยเม็ดบดเป็นเวลา 24 ชั่วโมง

4.3 ความพรุน

จากรูปที่ 4.3 แสดงผลการทดสอบความพรุนของชิ้นงานมอร์ตาร์ตามมาตรฐาน ASTM C642-06 [9] พบว่าค่าความพรุนของมอร์ตาร์ที่ผสมเด็กานัก ณ ระยะเวลาในการบ่ม 7 วัน จะมีแนวโน้มเพิ่มขึ้นอย่างเห็นได้ชัด และเมื่อระยะเวลาการบ่มเพิ่มขึ้นเป็น 14, 28 และ 90 วัน ความพรุนจะลดลง โดยความพรุนของมอร์ตาร์ที่ผสมเด็กานักจะมีค่าสูงกว่ามอร์ตาร์ปูนซีเมนต์ปอร์ตแลนด์ล้วน ทั้งนี้เนื่องจากในตัวของเด็กานักเองมีลักษณะโครงสร้างเป็นรูพุ่น เมื่อทำการผสมเข้าไปในมอร์ตาร์จึงทำให้ความพรุนเพิ่มขึ้น อีกทั้งที่ระยะเวลาในการบ่ม 7 วัน การทำปฏิกิริยาปaoซิโคลานของเด็กานักยังเกิดขึ้นได้น้อย

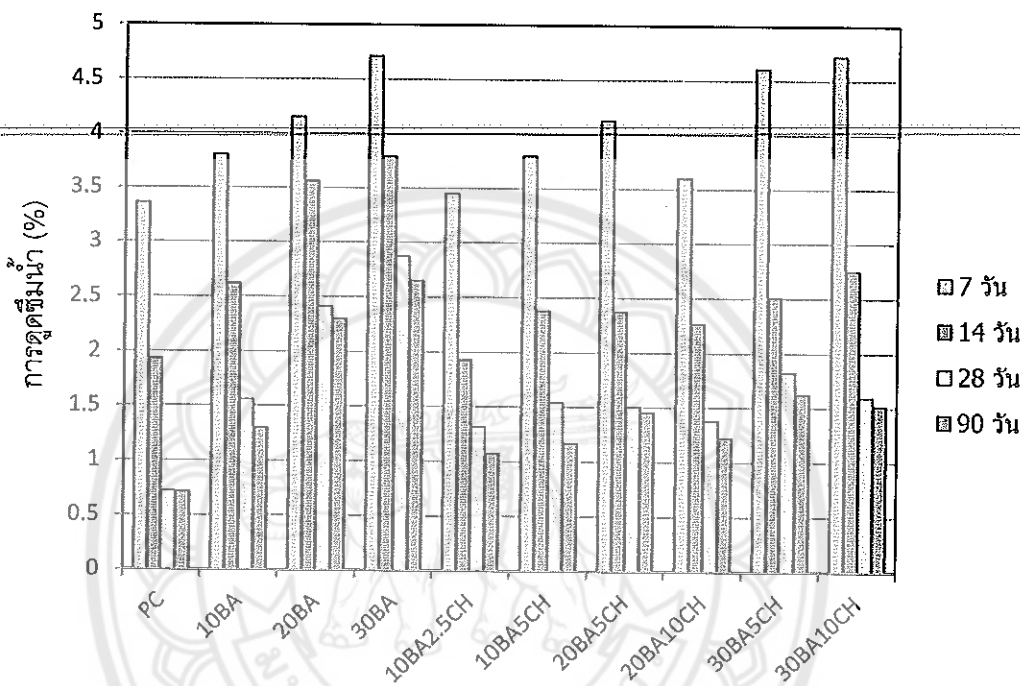


ภาพที่ 4.3 ความพรุนของมอร์ตาร์ที่ผสมเด็กานักที่ผ่านการบดด้วยมีดบดเป็นเวลา 24 ชั่วโมง

เมื่อพิจารณาที่ระยะเวลาในการบ่มที่ 28 วัน พบว่าค่าความพรุนของมอร์ตาร์ที่ผสมเด็กานัก มีค่าต่ำกว่า 7 วัน ทั้งนี้เนื่องจากการทำปฏิกิริยาของปูนซีเมนต์และเด็กานักจะเพิ่มขึ้นตามระยะเวลาที่เพิ่มขึ้น และเมื่อพิจารณาอัตราส่วนร้อยละของการแทนที่ด้วยเด็กานัก จะเห็นว่าเมื่อแทนที่ด้วยเด็กานักในอัตราส่วนที่เพิ่มมากขึ้น จะทำให้ค่าความพรุนสูงขึ้น ทั้งนี้เนื่องจาก ตัวเด็กานักเองมีปริมาณความพรุนสูง ทำให้มอร์ตาร์มีความพรุนสูง เมื่อแทนที่ด้วยเด็กานักในปริมาณมาก และความพรุนจะลดลงเมื่อระยะเวลาในการบ่มเพิ่มขึ้นเป็น 14 วัน และ 28 วัน เนื่องจากเกิดการทำปฏิกิริยาระหว่างเด็กานัก และแคลเซียมไไฮดรอกไซด์ไปอุดบริเวณรูพรุน จึงทำให้ความพรุนลดลง

4.4 การดูดซึมน้ำ

จากรูปที่ 4.4 แสดงผลการทดสอบการดูดซึมน้ำของชิ้นงานมอร์ตาร์ตามมาตรฐาน ASTM C642-06 [9] พบว่า การดูดซึมน้ำของมอร์tarที่ผสมเด็กหันจะมีค่าสูงกว่ามอร์tarปูนซีเมนต์ปอร์ตแลนด์ล้วน ที่การบ่ม 7 วัน จะมีค่าการดูดซึมน้ำสูง และจะลดลงเมื่อระยะเวลามากขึ้น และเมื่อเพิ่มปริมาณเด็กหันจะทำให้การดูดซึมน้ำเพิ่มมากขึ้น

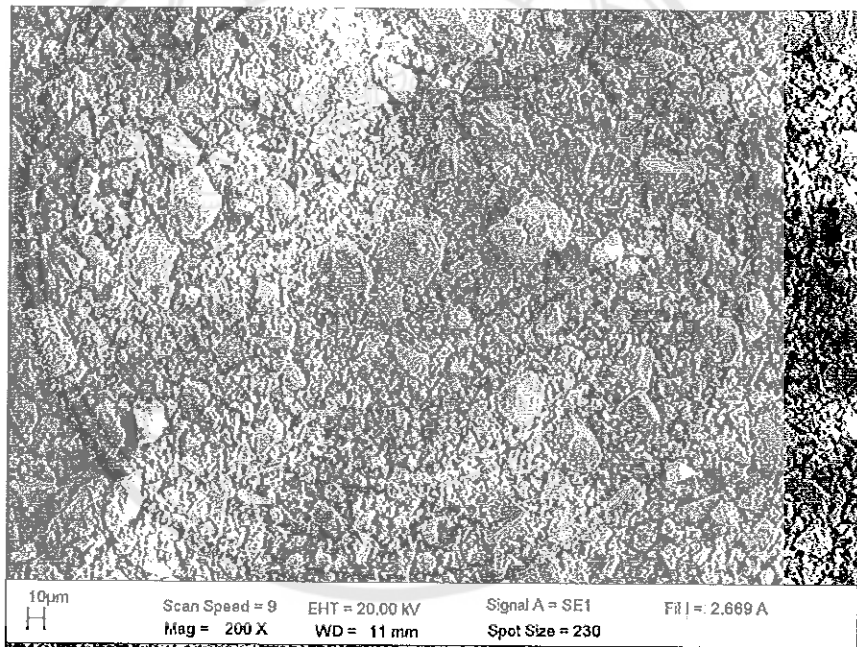


ภาพที่ 4.4 การดูดซึมน้ำของมอร์tarที่ผสมเด็กหันที่ผ่านการบดด้วยเม็ดบดเป็นเวลา 24 ชั่วโมง

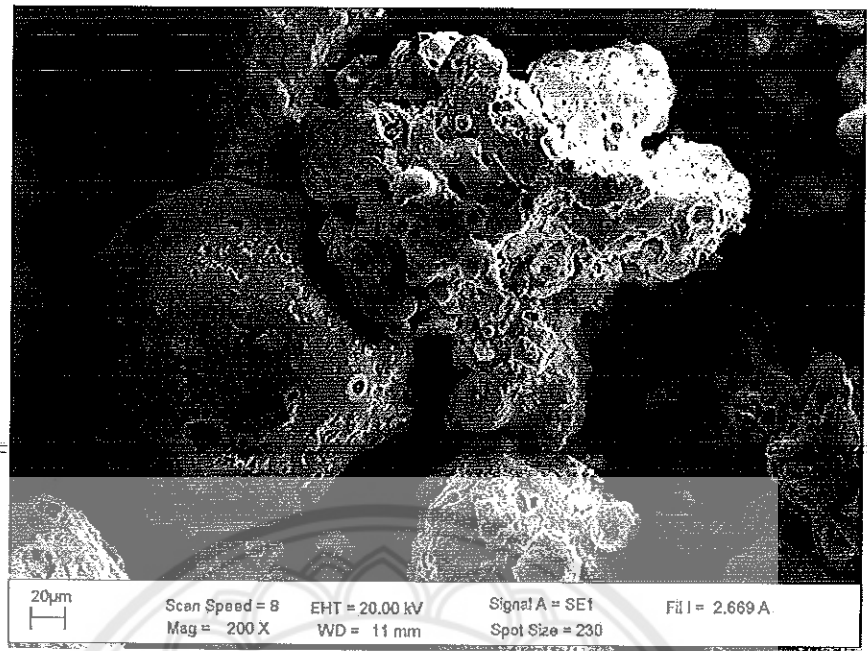
ปัจจัยเหตุที่ทำให้เป็นเช่นนี้เนื่องจากในตัวของเด็กหันเองมีลักษณะโครงสร้างเป็นรูพรุนสูง เมื่อทำการแทนที่ปูนซีเมนต์ปอร์ตแลนด์จึงทำให้ความพรุนเพิ่มขึ้น อีกทั้งที่ระยะเวลาในการบ่ม 7 วัน การทำปฏิกิริยาปอซโซลานของเด็กหันยังเกิดขึ้นได้น้อย จะเห็นว่าทิศทางของผลการทดสอบการดูดซึมน้ำจะแปรผันตรงกับความพรุน เนื่องจากเมื่อมีความพรุนมากจะทำให้มอร์tarดูดซึมน้ำได้มาก เพราะน้ำจะเข้าไปแทรกอยู่บริเวณรูพรุน

4.5 โครงสร้างทางจุลภาค

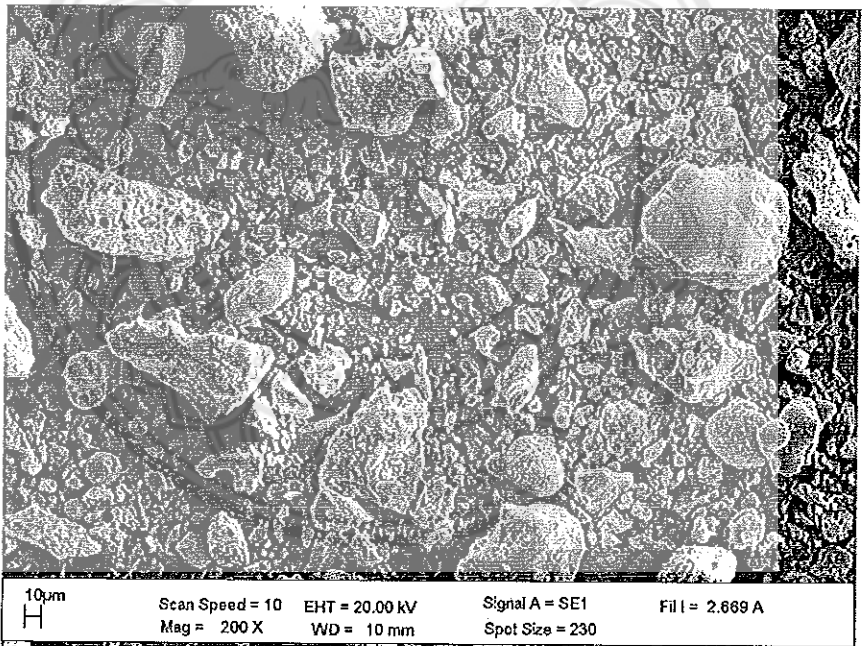
จากภาพที่ 4.5a เป็นภาพถ่ายโครงสร้างทางจุลภาคของปูนซีเมนต์ปอร์ทแลนด์ (PC) จะเห็นว่าลักษณะอนุภาคของ PC จะมีลักษณะเป็นเหลี่ยมเป็นมุม มีขนาดประมาณ 5-10 μm มีความหนาแน่นในโครงสร้างสูง เมื่อเทียบกับเด้าหันกในภาพที่ 4.5b เป็นภาพถ่ายโครงสร้างทางจุลภาคของเด้าหันกที่ยังไม่ผ่านกระบวนการบด จะเห็นว่าอนุภาคของเด้าหันกมีลักษณะเป็นเหลี่ยมเป็นมุม มีขนาดใหญ่มาก และมีความเป็นรูพูนสูง ก่อนที่จะนำมาใช้งานต้องนำไปบดก่อนดังภาพที่ 4.5c เป็นภาพถ่ายโครงสร้างทางจุลภาคของเด้าหันกที่ผ่านกระบวนการบดที่ระยะเวลา 24 ชั่วโมง (BA) จะเห็นได้ว่าขนาดอนุภาคของเด้าหันกมีขนาดเล็กลงใกล้เคียงกับ PC แต่ก็ยังคงมีรูพูนอยู่ ซึ่งส่งผลต่อความหนาแน่นที่ลดลง ความพรุนและการดูดซึมน้ำที่สูงขึ้น และมีผลให้ค่ากำลังอัดลดลงด้วย เนื่องจากเด้าหันกมีขนาดใหญ่กว่าเด้าหันกที่บด ทำให้ค่ากำลังของมอร์ตาร์สูงขึ้น



(a)

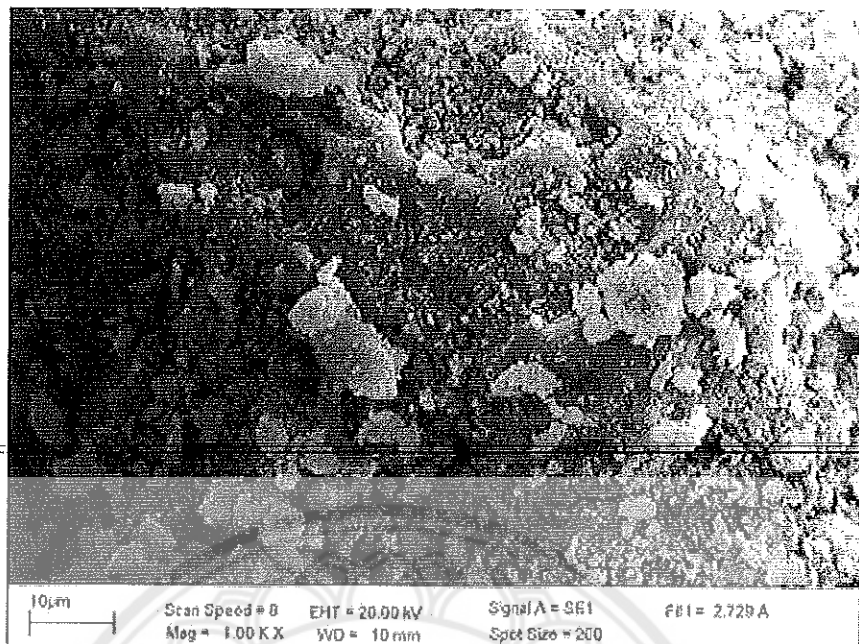


(b)

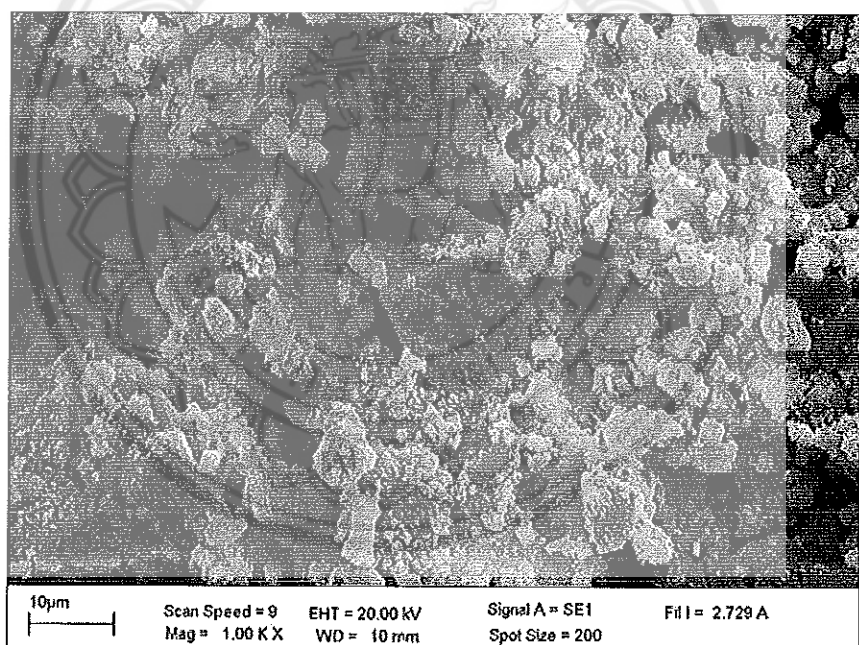


(c)

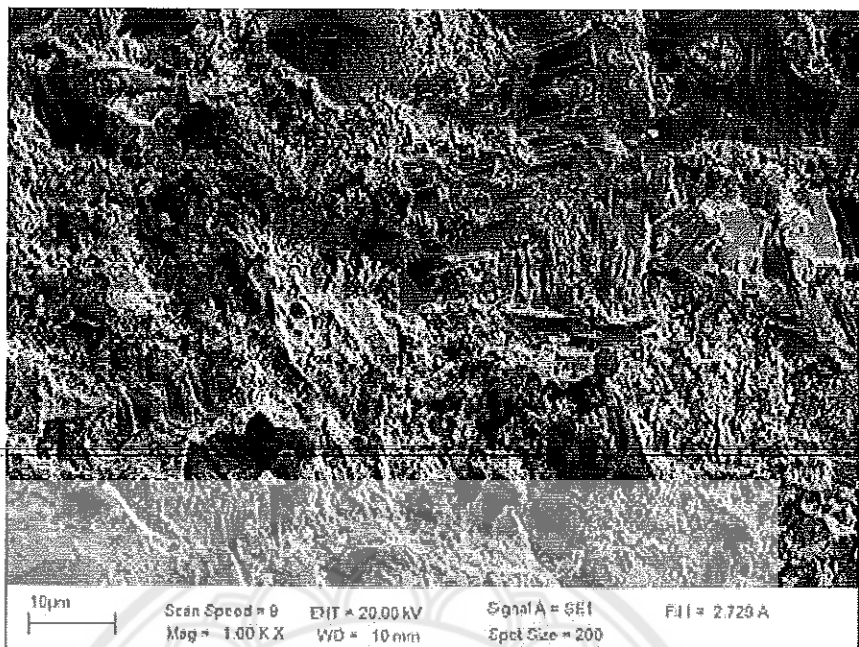
ภาพที่ 4.5 โครงสร้างทางจุลภาค (a) บุนซีเมนต์ปอร์ตแลนด์ (PC), (b) เถ้าหินกที่ยังไม่ผ่านการบด และ (c) เถ้าหินกที่ผ่านการบดแล้ว ที่ 24 ชั่วโมง (BA)



(a)



(b)



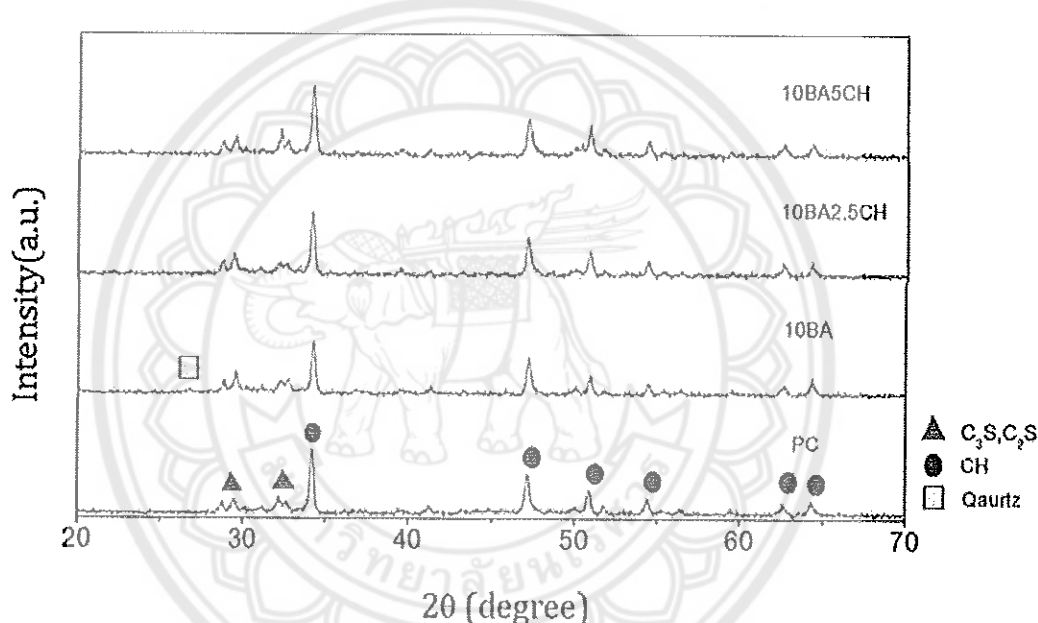
(c)

ภาพที่ 4.6 โครงสร้างทางจุลภาคของเพสต์ ที่อายุในการบ่ม 7 วันของ (a) PC, (b) 10BA และ (c) 10BA5CH

จากภาพที่ 4.6 แสดงการทำปฏิกิริยาของเพสต์ ซึ่งจะเห็นว่า จากภาพที่ 4.6a โครงสร้างทางจุลภาคของ เพสต์ ของ PC มีการทำปฏิกิริยาที่แน่นทึบ ส่งผลให้มีค่าความหนาแน่นมาก และมีค่ากำลังอัดสูง ซึ่งสอดคล้องกับ ค่ากำลังอัดและค่าความหนาแน่นที่ได้จากการทดลอง พิจารณาภาพที่ 4.6b โครงสร้างทางจุลภาคของ 10BA และภาพที่ 4.6c โครงสร้างทางจุลภาคของ 10BA5CH จะเห็นว่า 10BA5CH มีการทำปฏิกิริยาที่แน่นทึบกว่า 10BA ทั้งนี้เนื่องจากมีการทำปฏิกิริยาระหว่างปูนซีเมนต์กับน้ำซึ่งจะเกิดเป็นปฏิกิริยาไฮเดชันได้แคลเซียม ซิลิกेटจะทำหน้าที่เป็นเฟลี่ดประสาณ แต่เมื่อระยะเวลาเพิ่มขึ้นแคลเซียมซิลิกेटที่ได้จากปฏิกิริยาไฮเดชันจะทำ ปฏิกิริยากับซิลิกาและอัลูมินาที่เป็นองค์ประกอบของเดาหนักซึ่งเป็นวัสดุปูชนียสถาน เป็นปฏิกิริยา ปูชนียสถานนิกซึ่งจะได้เป็นเฟสของแคลเซียมซิลิกेटไฮเดรต ซึ่งจะทำหน้าที่เป็นวัสดุประสาณทำให้ปูนซีเมนต์เพสต์มี ความหนาแน่นและมีค่ากำลังอัดสูงขึ้นเมื่อระยะเวลาการบ่มเพิ่มขึ้น โดย 10BA5CH มีสารเติมแต่งแคลเซียม ไฮดรอกไซด์ ซึ่งสามารถทำปฏิกิริยากับซิลิกา และอัลูมินาในเดาหนัก ไปพร้อมกับปฏิกิริยาไฮเดรชันจึงทำให้ 10BA5CH มีการทำปฏิกิริยามากกว่า 10BA ส่งผลให้มีค่ากำลังอัดของ 10BA5CH สูงกว่า 10BA ในทุกระยะเวลา การบ่ม

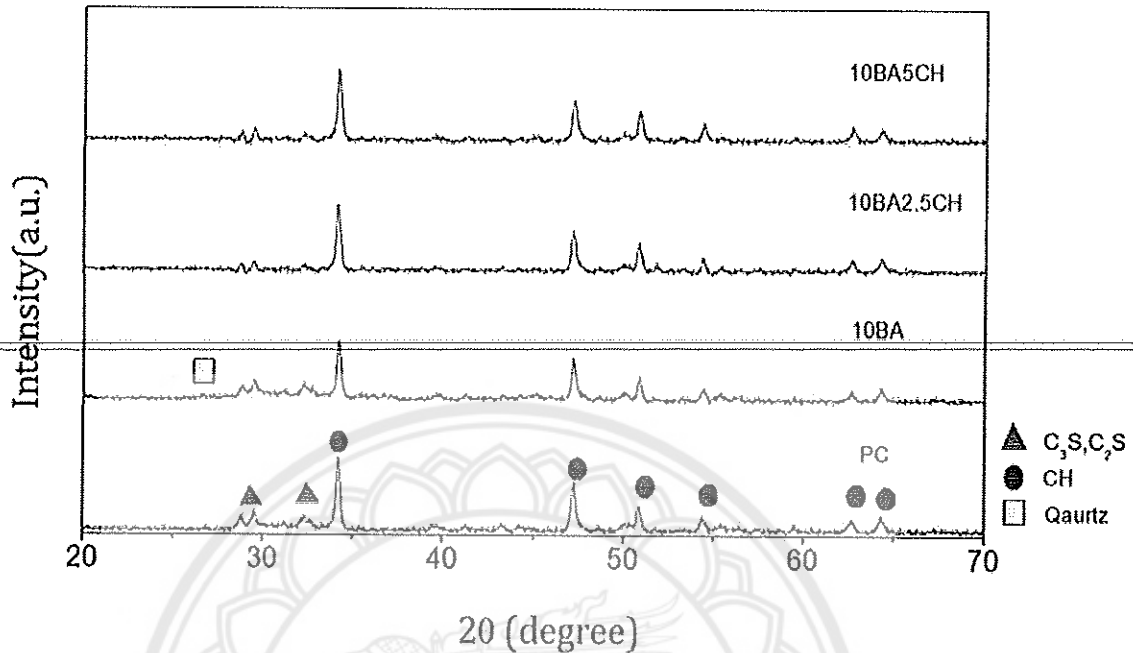
4.6 องค์ประกอบทางเคมี

จากภาพที่ 4.7 รูปแบบการเดี้ยวเบนรังสีเอกซ์ (XRD) ของชิ้นงานที่ผ่านการบ่มที่ 7 วันพบว่าพื้นที่หักจะสอดคล้องกับพื้นแคดเซียมไไฮดรอกไซด์ (CH) ตามฐานข้อมูล JCPDF no.04-0733 โดยความเข้มของพื้นแคดเซียมไไฮดรอกไซด์ของปูนชิ้นงานทุกสัดส่วนผสมมีค่าใกล้เคียงกันทั้งนี้เนื่องจากการทำปฏิกิริยาไไฮเดรชันของแคดเซียมซิลิเกตของปูนชิ้นงานกับน้ำ [11] ในส่วนของเพสต์ที่ผสมเด็กหักจะเกิดพื้นที่หักของชิลิกอน (Quartz) ด้วย แต่ความสูงของพื้นยังเห็นได้ไม่ชัดเนื่องจากผสมเด็กหักต่อปูนชิ้นงาน ในอัตราส่วนร้อยละ 10 ซึ่งเป็นปริมาณที่น้อยเมื่อเทียบกับปูนชิ้นงาน



ภาพที่ 4.7 รูปแบบการเดี้ยวเบนด้วยรังสีเอกซ์ของมอร์ทาร์ที่ผสมเด็กหักที่อัตราส่วนร้อยละ 10 เทียบกับ PC ที่ระยะเวลาในการบ่ม 7 วัน

จากรูปแบบการเดี้ยวเบนรังสีเอกซ์ของชิ้นงานเพสต์ที่ผสมเด็กหักที่ระยะเวลาการบ่ม 28 วัน (ดังแสดงในภาพที่ 4.8) จะพบว่าปูนเพสต์ของปูนชิ้นงานปอร์ตแลนด์ล้วนปราศจากพื้นที่หักของแคดเซียมไไฮดรอกไซด์กับพื้นเพสต์ของแคดเซียมซิลิเกต ส่วนในปูนเพสต์ที่ผสมเด็กหักทุกส่วนผสมจะพบพื้นที่หักของควอร์ซ แต่จะสังเกตได้ว่าความสูงของพื้นแคดเซียมไไฮดรอกไซด์จะต่ำกว่าที่พบในปูนชิ้นงานล้วน ทั้งนี้เนื่องจากการเกิดปฏิกิริยาปอชโซลานิก [12] ของชิลิกาและอุฐมินาในเด็กหักกับแคดเซียมไไฮดรอกไซด์จากปฏิกิริยาไไฮเดรชันได้เป็นเฟสยึดประสาน (แคดเซียมซิลิเกตไไฮเดรท) จากผลของ XRD ดังกล่าวจะสอดคล้องกับค่ากำลังอัดของมอร์ทาร์ที่ผสมเด็กหักมีค่ากำลังอัดที่สูงขึ้นเมื่อระยะเวลาการบ่มเพิ่มมากขึ้น



ภาพที่ 4.8 รูปแบบการเติ้ยวบนด้วยรังสีเอกซ์ของมอร์tar์ที่ผสมเดาหนัก ที่อัตราส่วนร้อยละ 10 เทียบกับ PC ที่ระยะเวลาใน การบ่ม 28 วัน

บทที่ 5

สรุปผลการทดลอง และข้อเสนอแนะ

5.1 สรุปผลการวิจัย

จากการศึกษาสมบัติทางกล และสมบัติทางกายภาพของปูนซีเมนต์มอร์tarที่ผสานเด็กหันก สามารถสรุปได้ว่า เด็กหันกที่ผ่านการปรับปรุงคุณสมบัติตัวยการบดด้วยเม็ดบล็อกเป็นเวลา 24 ชั่วโมง จะช่วยให้กำลังอัดของมอร์tarมีค่าสูงขึ้น จนเห็นว่าการใส่สารเติมแต่งด้วยแคลเซียมไ ixide ก็ช่วยในการทำให้ค่ากำลังอัดสูงขึ้น เนื่องจากมีการทำปฏิกิริยาปูนซีเมนต์มากขึ้น โดยเฉพาะอย่างยิ่งปูนซีเมนต์มอร์tarที่ผสานเด็กหันกในอัตราส่วนร้อยละ 10 ที่มีค่ากำลังอัดสูงกว่าปูนซีเมนต์มอร์tarควบคุมทุกรายละเอียดในการบ่มทั้งสูตรที่เติมแคลเซียมไ ixide ก็และสูตรที่ไม่ได้เติม ส่วนความหนาแน่น ความพรุน และการดูดซึมน้ำมีค่าเทียบเท่ากับปูนซีเมนต์ควบคุม อย่างไรก็ตาม จากผลของการดูดซึมน้ำ และความพรุน จะมีความสัมพันธ์ไปในทิศทางเดียวกันและมีค่ามากกว่าชุดมอร์tarควบคุม ทุกรายละเอียดในการบ่ม



เอกสารอ้างอิง

- [1] G. Cordeiro, R.D.T Filipp, E.M.R. Fairbairt and et al., In: *Proceedings of the International Conference on Use of Recycled Materials in Building and Structure*, Barcelona; 2004. p. 1-9.
- [2] รัชพล สมนา และ ชัย จาตุรพิทักษ์กุล, วารสารวิจัยและพัฒนา มจธ., ปีที่ 34 ฉบับที่ 4 (2554) หน้า 369-381.
- [3] G.C. Carderio, R.D. Toledo Filho and E.M.R. Fairbairt, *Constr. Buil. Mater.*, 23 (2009) 3301-3303.
- [4] E.V. Morales, E. Villar-Cocina and et al., *Cem. Concr. Compos.*, 31 (2009) 22-28.
- [5] ASTM C 618-08a. Standard Specification for Coal Fly Ash and Raw or Calcined Natural Pozzolan for Use in Concrete1. American Society for Testing and Materials, Philadelphia; 2008.
- [6] บรรจง แสงแก้ว และคณะ, “การศึกษาความสามารถเกิดได้ และกำลังของคอนกรีตผสมที่ถูกเผาอย่างลึกในตัว”,
รายงานการค้นคว้าอิสระวิศวกรรมศาสตรบัณฑิต มหาวิทยาลัยเชียงใหม่, 2536.
- [7] N.B. Singh, V.D. Singh, and S. Rai, *Cem. Concr. Res.*, 30 (2000) 1485-1488.
- [8] G.C. Cordeiro, R.D. Toledo Filho, and et al., *Cem. Concr. Compos.*, 30 (2008) 410-418.
- [9] N. Chusilp, C. Jaturapitakkul and et al., *Constr. Buil. Mater.*, 23 (2009) 3523-3531.
- [10] T. Akram, S.A. Memon, H. Obaid, *Constr. Build. Mater.* 23 (2009) 703-712.
- [11] G.C. Cordeiro, R.D. Toledo Filho and et al., *Constr. Buil. Mater.*, 29 (2012) 641-646.
- [12] S. Mindess, J.F. Young and D. Darwin, *Concrete; 2nd Edition*, Prentice Hall (2002).
- [13] H. Yazici, H. Yigiter, A.S. Karabulut and B. Baradan, *Fuel* 87 (2008) 2401-2407.
- [14] A. Chaipanich, T. Nochaiya, *J Therm. Anal. Calorim.* 99 (2010) 487-493.
- [15] A. Chaipanich, T. Nochaiya, W. Wongkeo and P. Torkittikul, *Mater. Sci. Eng. A* 527 (2010) 1063-1067.
- [16] ชัย จาตุรพิทักษ์กุล, การใช้งานถ่านหินอ้อยเพื่อเป็นวัสดุปูorchestra ในงานคอนกรีต, วารสารคอนกรีต, ฉบับที่ 16 ประจำเดือนสิงหาคม (2555) หน้า 1-7.
- [17] สำนักงานคณะกรรมการอ้อยและน้ำตาลทราย, กองอุตสาหกรรมอ้อยและน้ำตาลทราย, กระทรวงอุตสาหกรรม, 2550, สรุปสถานการณ์อ้อยและน้ำตาลทรายของประเทศไทยประจำปีการผลิต 2549/50, เล่มที่ 2, หน้า 1-3
- [18] V.M. Malhotra and P.K. Mehta, *Pozzolanic and cementitious materials*, Gordon and Breach Publishers, Netherlands, 1996
- [19] สันติ รุจิโนพานิช, “การศึกษาคุณสมบัติเบื้องต้นของคอนกรีตดัดอัดที่ใช้ถ่านหินอ้อยลึกในตัวและมี率เป็นส่วนผสม”,
รายงานการค้นคว้าอิสระวิศวกรรมศาสตรบัณฑิตมหาวิทยาลัยเชียงใหม่, 2538.
- [20] A. Sales, S.A. Lima, *Waste Management* 30 (2010) 1114-1122.
- [21] W. Wongkeo, P. Thongsanitgarn and A. Chaipanich, *Mater. Design* 36 (2012) 655-662.
- [22] T. Nochaiya, W. Wongkeo and A. Chaipanich, *Fuel* 89 (2010) 768-774.
- [23] Nattawong Phosuphanan, Savanee Vanaleesin, Phongthorn Julphunthong and Thanongsak Nochaiya, *Effect of Calcinations Temperature on Pozzolanicity of Sugarcane Bagasse Ash*, Proceedings The 6th National Science Research Conference,(20-21 March 2014), Burapha University, pp. 205-210.

ผลลัพธ์จากการวิจัย

ความรู้ที่ได้จากการวิจัยนี้สามารถนำไปเป็นข้อมูลพื้นฐานสำหรับการประยุกต์ใช้สารเติมแต่งเพื่อเพิ่มคุณสมบัติของมอร์tarที่ผสมถ่านหินเพื่อใช้งานในทางวิศวกรรมก่อสร้างได้ โดยได้นำเสนอในการประชุมวิชาการดังต่อไปนี้

- นำเสนอบาบblers ในการประชุมวิชาการระดับนานาชาติ “The 3rd International Congress on Advanced Materials (AM 2016) ” วันที่ 27 - 30 พฤศจิกายน 2559 ณ โรงแรม Centara grand at Central Plaza Ladprao จังหวัดกรุงเทพมหานคร ประเทศไทย. เรื่อง “Setting time and microstructure of Portland Cement-bottom ash-sugarcane bagasse ash pastes”

ได้มีการตีพิมพ์เผยแพร่ในวารสารระดับนานาชาติ จำนวน 1 เรื่อง ได้แก่

1. Aniruj Akkarapongtrakul, Phongthorn Julphunthong, Thanongsak Nochaiya*, “Setting time and microstructure of Portland Cement-bottom ash-sugarcane bagasse ash pastes”, Chemical monthly, DOI: 10.1007/s00706-017-1953-5, (accepted).





Decision on your manuscript #MCCM-D-16-00855R1

em.mccm.0.51a836.405de423@editorialmanager.com ในนามของ
Monatshefte für Chemie - Chemical Monthly (MCCM) <em@editorialmanager.com>
วันที่ 6/3/2017 4:48

ส่ง: THANONGSAK NOCHAIYA <thanongsakno@nu.ac.th>;

Ref.: Ms. No. MCCM-D-16-00855R1
Setting time and microstructure of Portland cement-bottom ash-sugarcane bagasse ash pastes
Monatshefte für Chemie - Chemical Monthly

Dear Dr. Nochaiya,

I am pleased to tell you that your work has now been accepted for publication in Monatshefte für Chemie - Chemical Monthly.

Comments from the Editor and Reviewers can be found below.

Thank you for submitting your work to this journal.

With kind regards

Prof. Peter Gärtner
Editor-in-Chief
Monatshefte für Chemie - Chemical Monthly

COMMENTS TO THE AUTHOR:

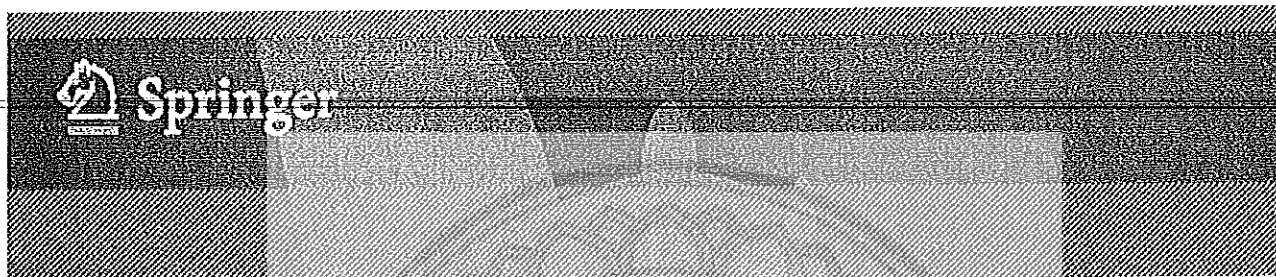


Copyright Transfer Statement (CTS) for your article in Monatshefte für Chemie - Chemical Monthly (1953)

Springer

v. 8/3/2017 13:23

to: THANONGSAK NOCHAIYA <thanongsakno@nu.ac.th>;



Copyright Transfer

08.03.2017

visit us at springer.com

Confirmation of your Copyright Transfer

Dear Author,

Please note: This e-mail is a confirmation of your copyright transfer and was sent to you only for your own records.

The copyright to this article, including any graphic elements therein (e.g. illustrations, charts, moving images), is hereby assigned for good and valuable consideration to Springer-Verlag Wien effective if and when the article is accepted for publication and to the extent assignable if assignability is restricted for by applicable law or regulations (e.g. for U.S. government or crown employees). Author warrants (i) that he/she is the sole owner or has been authorized by any additional copyright owner to assign the right, (ii) that the article does not infringe any third party rights and no license from or payments to a third party is required to publish the article and (iii) that the article has not been previously published or licensed.

The copyright assignment includes without limitation the exclusive, assignable and sublicensable right, unlimited in time and territory, to reproduce, publish, distribute, transmit, make available and store the article, including abstracts thereof, in all forms of media of expression now known or developed in the future, including pre- and reprints, translations, photographic reproductions and microform. Springer may use the article in whole or in part in electronic form, such as use in databases or data networks for display, print or download to stationary or portable devices. This includes interactive and multimedia use and the right to alter the article to the extent necessary for such use.

Authors may self-archive the Author's accepted manuscript of their articles on their own websites. Authors may also deposit this version of the article in any repository, provided it is only made publicly available 12 months after official publication or later. He/she may not use the publisher's version (the final article), which is posted on SpringerLink and other Springer websites, for the purpose of self-archiving or deposit. Furthermore, the Author may only post his/her version

provided acknowledgement is given to the original source of publication and a link is inserted to the published article on Springer's website. The link must be provided by inserting the DOI number of the article in the following sentence: "The final publication is available at Springer via [http://dx.doi.org/\[insert DOI\]](http://dx.doi.org/[insert DOI])".

Prior versions of the article published on non-commercial pre-print servers like arXiv.org can remain on these servers and/or can be updated with Author's accepted version. The final published version (in pdf or html/xml format) cannot be used for this purpose. Acknowledgement needs to be given to the final publication and a link must be inserted to the published article on Springer's website, by inserting the DOI number of the article in the following sentence: "The final publication is available at Springer via [http://dx.doi.org/\[insert DOI\]](http://dx.doi.org/[insert DOI])". Author retains the right to use his/her article for his/her further scientific career by including the final published journal article in other publications such as dissertations and postdoctoral qualifications provided acknowledgement is given to the original source of publication.

Articles disseminated via <http://link.springer.com> are indexed, abstracted and referenced by many abstracting and information services, bibliographic networks, subscription agencies, library networks, and consortia.

After submission of the agreement signed by the corresponding author, changes of authorship or in the order of the authors listed will not be accepted by Springer.

This is an automated e-mail; please do not reply to this account. If you have any questions, please go to our [help pages](#).

Thank you very much.

Kind regards,

Springer Author Services

Article Details

Journal title

Monatshefte für Chemie - Chemical Monthly

Article title

Setting time and microstructure of Portland cement-bottom ash-sugarcane bagasse ash pastes

DOI

10.1007/s00706-017-1953-5

Corresponding Author

Thanongsak Nochaiya

Copyright transferred to

Springer-Verlag Wien

Transferred on

Wed Mar 08 07:23:22 CET 2017

Service Contacts

Springer Customer Service Center

Tiergartenstr. 15-17
69121 Heidelberg
Germany
phone: +49 6221 345 0
fax: +49 6221 345 4229
customerservice@springer.com

Springer New York, LCC

233 Spring Street
New York, NY 10013
USA
phone: +1 212 460 1500 or 800-SPRINGER
(Weekdays 8:30am - 5:30pm ET)
fax: +1 212-460-1700
customerservice@springer.com

© Springer 2017, springer.com



Setting time and microstructure of Portland Cement-bottom ash-sugarcane bagasse ash pastes

Aniruj Akkarapongtrakul¹ • Phongthorn Julphunthong^{2, 3} • Thanongsak Nochaiya^{1,3}

Received:/Accepted ...

Abstract Bottom ash (BA) and sugarcane bagasse ash (SCBA) are by-products from the power plants and the sugar industry and they have a great potential to be used in green-concrete structure application. This study reports the effects of BA and SCBA as cement replacements up to 20 percent by weight, on the properties of Portland cement (PC) pastes and mortars. All mortars used had water to binder ratio (w/PC+BA, w/PC+SCBA and w/PC+BA+SCBA) of 0.5. Normal consistency, setting time, compressive strength and microstructure (using scanning electron microscope; SEM) were systematically investigated.

The results showed that the water requirement for normal consistency was decreased with increasing BA content, while the increment of SCBA content was found to increase. The initial and final setting times of all pozzolan mixes was longer when compared to that of PC mix. Moreover, the compressive strengths of all mixtures with BA were similar to that of the PC mix at 90 days. In addition, the SEM micrograph of pastes confirmed a good pozzolanic reaction between ash particles and Portland cement, resulting in an increase in the compressive strength of the mortars especially after a period of time (more than 28 days).

Keywords Bottom ash • Sugarcane bagasse ash • Pozzolanic reaction • Hydration reaction

✉ Thanongsak Nochaiya

thanongsakno@nu.ac.th

¹ Department of Physics, Faculty of Science, Naresuan University, Phitsanulok 65000, Thailand

² Department of Civil Engineering, Faculty of Engineering, Naresuan University,

Phitsanulok 65000, Thailand

³ Research Center for Academic Excellence in Applied Physics, Naresuan University,

Phitsanulok 65000, Thailand



Introduction

Cement is the principal material in the production of concrete, which is the most important material in the world, that forms the basis of the construction industry but it emits CO₂ at a rate of 0.7-1.1 tons for one ton of cement production [1]. In order to reduce the amount of CO₂ emission from the cement industry, the manufacturing process has to be improved to reduce the environmental problem of air pollution [2]. These include the utilization of supplementary cementitious materials such as natural pozzolans material [3-5].

Bottom ash (BA) is a by-product of the combustion of coal in power plants. It is consolidated of the ashes at the bottom of the furnace. Bottom ash particles are physically coarse, porous, granular and graying color. The world production of coal ash is approximately 459 million tons in 1992 [1] while the output of lignite BA at Mae Moh power plant in the north of Thailand is about 0.8 million tons per year [6]. Many researchers reported that BA contains a high silica and alumina contents similar to fly ash. Furthermore, it has been reported that the pozzolanic reactivity of BA may improve the compressive strength of concrete [7-9]. Several researchers [10-11] found that grinding of BA can increase its pozzolanic activity of the concrete and make it suitable for use as a partial replacement in Portland cement.

Sugarcane bagasse ash (SCBA), which is a by-product of the burning of sugarcane bagasse from the sugar industry, has recently been accepted as a pozzolanic material and can be used as a supplementary material in cement based-materials [12-16]. However, the SCBA is a pozzolanic material with high silica content could also be used as pozzolan [15]. This ash is generally disposed in landfills every day, leading to environmental problems in the region. Since the received SCBA from the sugar industry has a large particle size and high porosity, it needs more water content and thus results in lower mechanical properties. However, when SCBA is ground into small particles, the properties of the cement based-materials containing ground SCBA improves significantly [17]. Ganesan et al. [15] reported that the SCBA was an effective

mineral admixture, with 20% by weight of the binder as optimal replacement ratio of cement. The 28 and 90 day compressive strengths have been higher than that of the mix without SCBA.

The relationship between the microstructure and compressive strength of BA and SCBA blended cement were not well reported. Consequently, this research investigated the effect of ground BA and SCBA on the microstructure, setting time and compressive strength of pastes and mortars and compared them to the PC control mix. This knowledge could be beneficial and used commercial for this type of waste in paste and mortars and thus lead to the reduction in the amount of cement usage and environmental problems.

Results and Discussion

Normal consistency

Normal consistency of cement paste with and without BA and SCBA, which was accepted when the plunger sunk to a point 10 ± 1 mm scale in 30 s of the test, presented to determine the changes in water requirements of the pastes due to BA and SCBA waste is given in Table 3 and Fig. 2. The results showed that the normal consistency of the PC 20BA and 20SCBA pastes had water requirements of 136, 133 and 145 g, respectively. Therefore, the normal consistency of 20BA paste was lower than that of the ordinary cement paste while 20SCBA paste was higher than that of the control cement paste. This is mainly due to the LOI content of SCBA was higher than that of the BA (LOI of BA and SCBA of 3.4% and 11.2%, respectively). This behavior was also found in the case of high LOI content in fly ash [18-20]. However, the low LOI content tended to be less effect in water demand and attributed to the absorption of free water by unburned carbon particle in pozzolanic material [21]. Furthermore, it was found that the water requirements for normal consistency of the paste with 20 wt% of between BA and SCBA (5BA15SCBA, 10BA10SCBA and 15BA5SCBA) were 139, 137 and 134 g, respectively. In addition, this result indicated that the normal consistency of the paste was decreased when the amount of SCBA increased.

Setting time

The initial and final setting times of the control cement paste and the pastes modified with SCBA (20BA, 20SCBA, 5BA15SCBA, 10BA10SCBA and 15BA5SCBA) are shown in Fig. 3 and Table 3. It can be seen that all specimens with BA and SCBA were found to have higher initial and final setting times of the pastes than that of the PC control mix. It can be noted that BA had a small delaying effect on the hydration of Portland cement paste as similarly reported by the previous studies [22-25]. The main reason for the increase in both the initial and final setting times is the reduction of the C₃A component (in the case of using mineral additive) which arises from the cement in the mixture and has an important role in improving the hydration in the early hours. By replacing cement with 20BA in certain proportions, the initial and final setting times of the cement increased 26 and 31 minutes in comparison with PC cement paste. Moreover, the final setting time of the 20 wt% of overall replacement by BA and SCBA was tended to slightly decrease when the fraction of BA increases.

Compressive strength

Table 4 shows the compressive strength of the mortar blended with pozzolan for 7, 28, and 90 days of curing. The compressive strengths of PC mix at 7, 28, and 90 days were 40.5±2.7, 41.4±1.5 and 46.3±0.9 MPa, respectively. At 7 days of curing, the compressive strengths of the mortar with 20BA and 20SCBA as substitutive binders had 26.2±2.5 and 30.6±0.9 MPa, respectively. The compressive strengths of the 20BA and 20SCBA mixes at 28 days were 39.6±1.6 and 35.1±1.9 MPa, respectively, while the compressive strength of these mixes at 90 days was 45.1±0.6 and 46.3±0.4 MPa, respectively. The strength of the mortar was commonly found in the case of pozzolan material usage similar to that of the fly ash and bagasse ash in concrete, as reported by Akram and Ganesan. [15, 26].

In addition, the compressive strength of the mortar with 20wt% of the total cement replacement by BA and SCBA (5BA15SCBA, 10BA10SCBA and 15BA5SCBA) trended to decrease when BA increased and SCBA decreased, for all ages. These compressive strength results of 7 days curing were 26.7 ± 4.7 , 26.6 ± 0.9 and 23.8 ± 2.9 MPa, respectively. Furthermore, the compressive strengths at 28 days were 40.3 ± 4.2 , 38.0 ± 3.8 and 37.2 ± 2.5 MPa, respectively, while the compressive strength was 46.7 ± 0.4 , 46.2 ± 0.6 and 46.2 ± 2.5 MPa for 90 days. This result indicates that the compressive strength of all mixes with ashes at 28 days and 90 days curing was close to the PC mortar. It can be understood from this result that the replacement of PC by both ashes at 20wt% possibly results in lower effects on the compressive strength at later ages.

Microstructure

A comparison of the microstructure of the pastes blended with BA and SCBA using SEM analysis are presented in Figs. 4 (a), 4 (c), 4 (e) and 4 (g). The regions analyzed by EDS are indicated by a gray rectangle in the SEM image. Results obtained in the EDS spectra are shown with the relative intensities of each element in the SEM micrograph from Figs. 4 (b), 4 (d), 4 (f) and 4 (h).

The SEM photograph of the PC paste at 28 days was shown in Fig. 4 (a). The microstructure of the PC paste presented several shapes such as a generally equant crystals, plate-like crystals, condensed phase and needle-like crystals. Such large plate-like crystals are referred to an unhydrated cement phase and the needle-like crystals have been described as CSH phases inside pores or cracks [27] as reported by other studies [28]. Furthermore, the SEM image relates to the high amount of Ca, Si and O elements by the EDS analyze (Fig. 4 (b)), having 40.96, 8.39 and 36.97 wt%, respectively. This result confirmed that Ca element was generally found in the ordinary Portland cement [29-30].

Fig. 4 (c) shows SEM micrograph for the paste of 20 wt% BA after curing in water for 28 days. The BA concluded with burning procedure of coal and they are often contaminated with

both particles. It can be seen that the BA particle, rather spherical chunk and rough surface was the size of about 25 μm . It was bonded with the paste surface (as seen in the interface around the BA particles) and some spherical BA particles came off when crushing samples. The bottom ash particle can be seen throughout in Fig. 4 (c), which was similarly found in the case of fly ash usage [31-32]. Furthermore, the SEM image showed that a hydration gel surrounded the large BA particle and their surfaces were a little rough, indicating their pozzolanic reaction degree generated at this age. The investigation of element of the BA paste by EDS is shown in Fig. 4 (d). The elements on the BA (overall area) showed high Si and Ca, which is mainly detected for the reacted normal pozzolan materials.

Fig. 4 (e) shows the morphology of the 20SCBA paste at 28 days of curing. It can be seen that the SCBA particle inserted in hydration products of PC, approximately 70 μm . This can be noted that the cement dilution can be effected to the hydration degree, which seemed to be loose of hydration products of the SCBA paste. However, the SEM result of SCBA paste related to the compressive strength of the SCBA mix that found to be less than that of the PC mix at 28 days curing. The EDS analysis of the paste with 20 wt% SCBA is shown in Fig. 4 (f). The amount of the elements on the SCBA particle shows Si of 12.09 wt% indicating as the SCBA particle in the 20SCBA paste, as similarly reported in other pozzolan usage [33-35]. Moreover, it can be noticed by EDS analysis that the SCBA paste shows Si and Si/Ca ratio higher that of PC paste.

The microstructure of 10BA10SCBA is shown in Fig. 4 (g). The SEM image showed the remaining BA and SCBA particles in the matrix that the large BA particles were surrounded by hydration gel and their surfaces appeared to be rougher than that of the SCBA surfaces. This seems that the BA consumed of $\text{Ca}(\text{OH})_2$ (from the hydration reaction), led to an increase in C-S-H form via the pozzolanic reactions. However, both ashes were not only used for the development of pozzolanic reaction, but also act by the microfiller effect in the paste [36-39]. In

addition, the EDS analysis of such areas showed Si and Ca elements of 12.62 and 24.55 wt%, respectively.



Table 1 Chemical composition of PC, BA, and SCBA

Materials	Oxide content/%									
	SiO ₂	Al ₂ O ₃	Fe ₂ O ₃	CaO	MgO	K ₂ O	TiO ₂	SO ₃	P ₂ O ₅	LOI
PC	18.4	3.7	3.4	65.6	1.5	0.6	0.2	4.5	-	2.2
BA	41.1	17.1	13.8	17.4	2.0	2.2	0.5	2.4	-	3.4
SCBA	74.0	3.7	1.8	1.7	0.7	4.4	0.4	0.3	1.8	11.2

Table 2 Mix proportions of PC with BA and SCBA pastes

Mix	w/b	Mix proportion/wt% of PC			
		PC	BA	SCBA	*Sand
PC	0.5	100	-	-	250
20BA	0.5	80	20	-	250
20SCBA	0.5	80	-	20	250
5BA15SCBA	0.5	80	5	15	250
10BA10SCBA	0.5	80	10	10	250
15BA5SCBA	0.5	80	15	5	250

* For mortar mixture

Table 3 Normal consistency and setting time of PC with BA and SCBA pastes

Mix	Water requirement for normal consistency/g, w/b	Setting time/min	
		Initial	Final
PC	136, 0.27	127	155
20BA	133, 0.27	153	186
20SCBA	145, 0.29	134	179
5BA15SCBA	139, 0.28	138	178
10BA10SCBA	137, 0.27	141	172
15BA5SCBA	134, 0.27	146	171

Table 4 Compressive strength of mortar containing BA and SCBA after curing in saturated lime water at 7, 28 and 90 days

Mixture	Compressive strength/MPa			Relative compressive strength/%		
	7 days	28 days	90 days	7 days	28 days	90 days
PC	40.5±2.7	41.4±1.5	46.3±0.9	100.0	100.0	100.0
20BA	26.2±2.5	39.6±1.6	45.1±0.6	64.7	95.7	97.4
20SCBA	30.6±0.9	35.1±1.9	46.3±0.4	75.5	84.9	99.9
5BA15SCBA	26.7±4.7	40.3±4.2	46.7±0.4	65.9	97.3	100.9
10BA10SCBA	26.6±0.9	38.0±3.8	46.2±0.6	65.5	91.9	99.8
15BA5SCBA	23.8±2.9	37.2±2.5	46.2±2.5	58.8	90	99.7

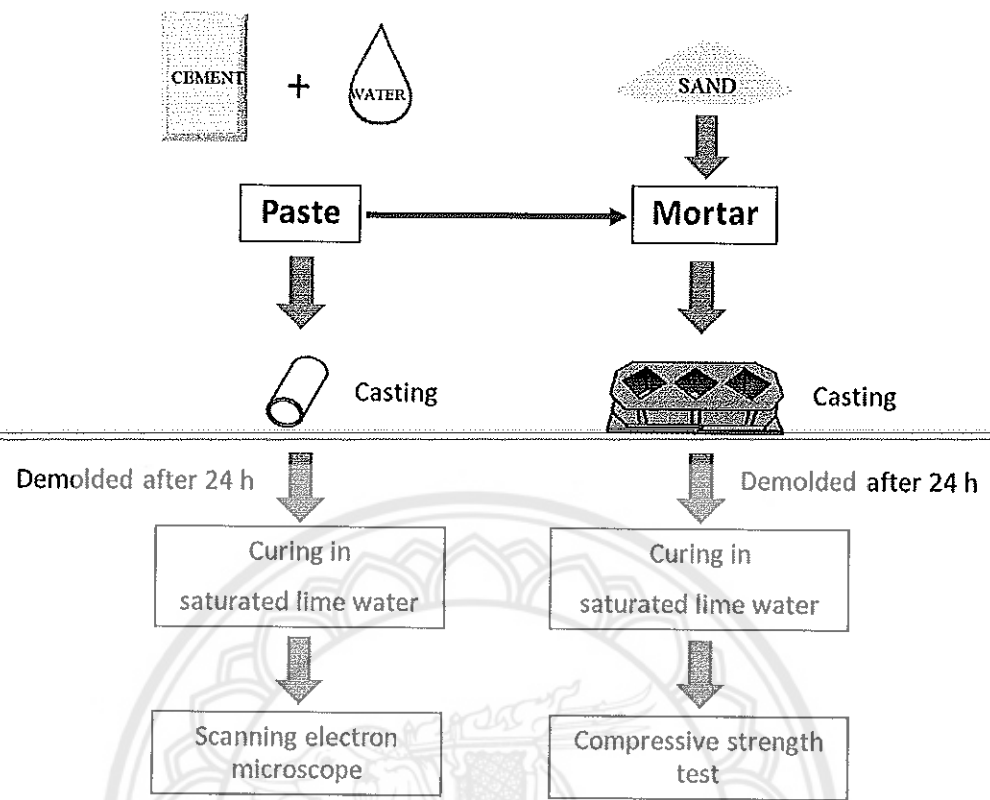


Fig. 1 Flow chart of experimental program of this research

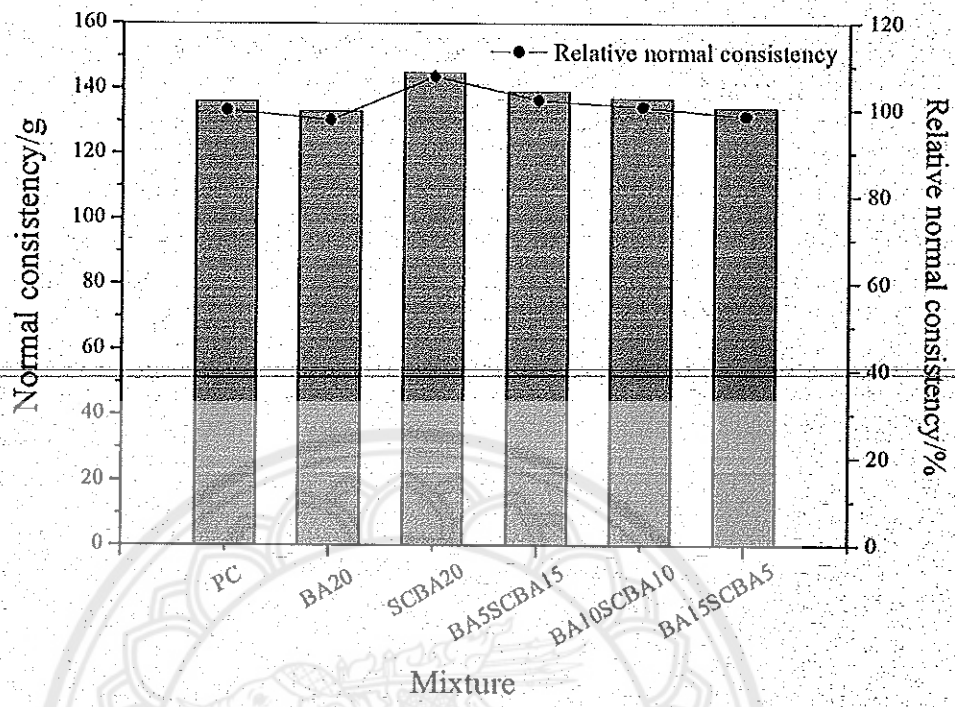


Fig. 2 Normal consistency of PC containing BA and SCBA paste

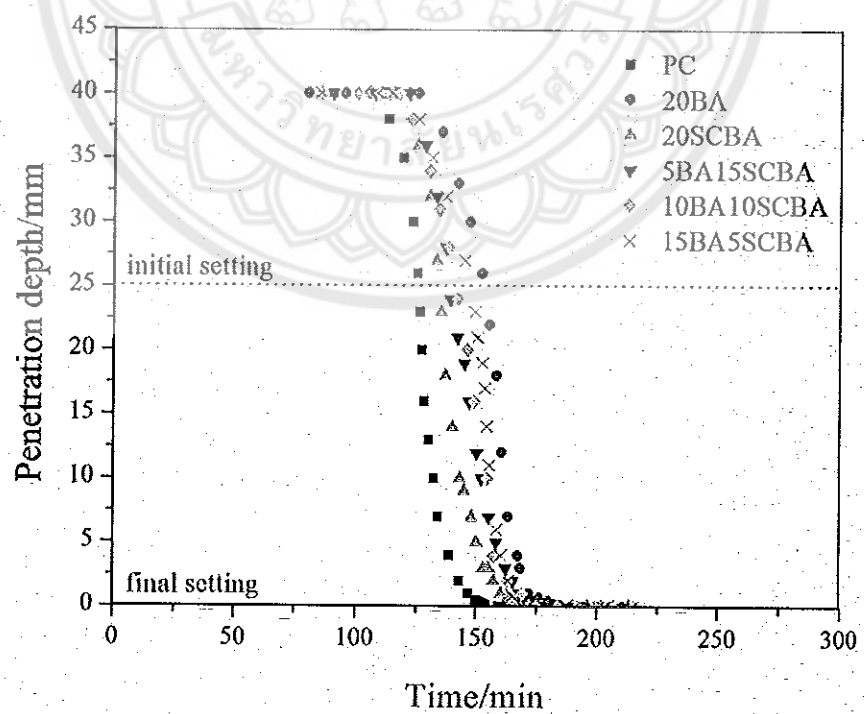


Fig. 3 Setting time of ordinary Portland cement containing BA and SCBA

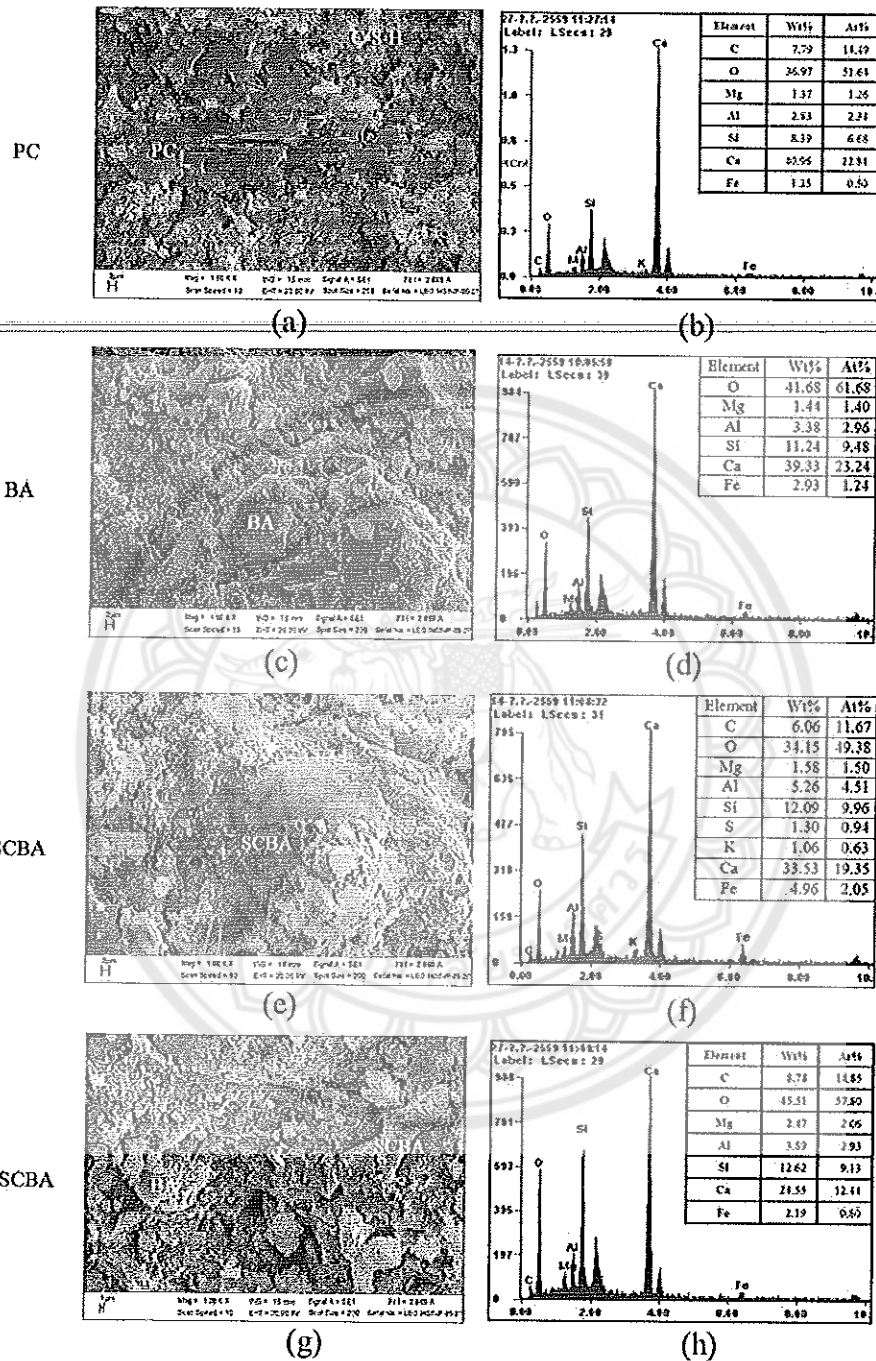


Fig. 4 SEM photographs and EDS analyses of the pastes blended pozzolan; (a) PC, (b) PC-EDS, (c) 20BA, (d) 20BA-EDS, (e) 20SCBA, (f) 20SCBA-EDS, (g) 10BA10SCBA and (h) 10BA10SCBA-EDS at 28 days

Conclusion

Based on the present experimental results, the following conclusions can be drawn:

1. The normal consistency of paste was found to decreases with increasing BA content while the SCBA paste showed increased in water requirement when SCBA increased. The initial and final setting times were increased with added BA and SCBA content up to 20 wt%, indicating that BA and SCBA had lowered the hydration reaction than that of the PC phases due to pozzolanic reaction.

2. The highest compressive strength of the mortar samples was deserved in the ~~5BA15SCBA mortar at 28 and 90 days, with the values of 40.3 and 46.7 MPa, respectively.~~

Furthermore, the BA and SCBA had the positively influence on the compressive strength of the mortars, which made them suitable for use as a mineral addition.

3. The utilization of BA and SCBA in mortar showed fairly dense matrix (from SEM analysis) via pozzolanic reaction, observing at the boundary of the pozzolan particles, resulting in a significant gain in the compressive strength.

Experimental

Material and Methods

Chemical compositions of Portland cement type I (PC), BA and SCBA are given in Table 1. Portland cement presented 65.6% of CaO, 18.4% of Si₂O, 3.7 of Al₂O₃ and 3.4 of Fe₂O₃. The loss on ignition (LOI) of PC particle was 2.2%, with the median particle size of 36.78 μm. In this study, Bottom ash from Mae Moh power plant in the north of Thailand was used. BA was ground by a ball mill for 20 h and had a median particle size (d_{50}) of 23.21 μm. The main chemical composition of BA was SiO₂, Al₂O₃, Fe₂O₃, CaO and LOI of 41.1%, 17.1%, 13.8%, 17.1% and 3.4%, respectively. The sum percentage of SiO₂, Al₂O₃ and Fe₂O₃ was 72% that higher than 70% of the requirement for natural pozzolan according to ASTM C618 standard [40]. Sugarcane bagasse ash (SCBA) obtained from the sugar industry in Phitsanulok province, Thailand, was ground by a ball mill for 12 h to reduce the particle size (d_{50} of 27.61 μm). SCBA has a sum percentage of SiO₂, Al₂O₃ and Fe₂O₃ of 79.5%, while SO₃ and LOI were 0.3 % and 11.2 %, respectively. The BA and SCBA were used as a cement replacement at up to 20 wt%. The mix proportion of Portland cement with BA and SCBA pastes and mortars is given in Table 2.

For the normal consistency test, the binders (PC, BA, and SCBA) were firstly mixed in the mixer, after that the pastes were approximately shaped to a ball with gloved hands. The paste was tossed six times through a free path of about 150 mm and then inserted into the Vicat mold.

The excess paste was removed and surface-was made smooth. After that, the center of the Vicat mold sample was placed under the center of a rod (plunger) and then the plunger touched the paste surface. Finally, the rod was immediately free released. The normal consistency was accepted when the plunger sunk to a point 10 ± 1 mm scale below the original surface in 30 s in accordance with ASTM C 187 standard [41].

In this investigation, setting time was indicated the cement paste solidification time [42] using a Vicat apparatus following the ASTM C 191 standard [43]. The paste samples with and without BA and SCBA were mixed with water to binder ratio following the water requirement of the normal consistency test as given in Table 3. A 1-mm-diameter needle was allowed to penetrate into the pastes every 15 min, and the penetration depth was measured. The time from initial contact of cement and water, and when the penetration depth of 25 mm was reached by the needle and then calculated the “Initial setting” time using Eq. (1)

$$\text{Initial setting} = \left(\frac{H-E}{C-D} \right) \times (C - 25) + E \quad (1)$$

Where E is the time in minutes of the last penetration greater than 25 mm, H is time in minutes of first penetration less than 25 mm, C is penetration reading at time E , and D is penetration reading at time H . The time from the initial contact of cement and water until the penetration of the needle did not sink visibly into the paste surface, was defined as the “Final setting” time.

For compressive strength tests, the water/binder ratio and the sand/binder ratio of the cement mortars were 0.5 and 2.5, respectively. To help homogeneously, the binders (PC, BA, and SCBA) were first mixed in the mixer, then, the water was added and mixed for approximately 2 min in accordance with the ASTM C 305 standard [44]. The pastes were then poured into cube molds ($50 \times 50 \times 50$ mm 3) and then compacted in accordance with the ASTM C 109 standard [45]. The specimens were surface-smoothed, and covered with plastic film. After 24 h, all specimens were removed from the molds after casting. Thereafter, they were cured in water at 25 ± 2 °C. Three specimens of each mix were tested for compressive strength at 7, 28, and 90 days after curing and the process of mortar preparation, as followed in Fig.1.

The microstructure of the paste samples was examined by a LEO 1455VP scanning electron microscope (SEM) coupled with an energy dispersive spectrometry (EDS). The paste samples were soaked in acetone to stop the hydration and then treated an oven maintained at 100 °C before the analysis. The procedure summary of paste preparation is shown in Fig.1.

Acknowledgements The present study wish to thank the faculty of science, Naresuan university for funding the research and the department of Physics support the materials and equipments used in the experiments. Thank also extend Dr. Kyle V. Lopin for language checking.

References

1. Sata V, Sathonsaowaphak A, Chindaprasirt P (2012) Cem Concr Compos 34:700-708
2. Li ZJ (2011) Advanced concrete technology. John Wiley & Sons, New Jersey
3. Zhang MH, Lastra R, Malhotra VM (1996) Cem Concr Res 26:963-977
4. Kiattikomol K, Jaturapitakkul C, Songpiriyakij S, Chutubtim S (2001) Cem Concr Compos 23:335-343
5. Sata V, Jaturapitukkul C, Rattanashotinunt C (2010) J Mater Civil Eng 22:1033-1038
6. Manz OE (1997) Fuel 76:691-696
7. Singh M, Siddique R (2013) Resour Conserv Recy 72:20-32
8. Zhang B, Poon CS (2015) J Clea Prod 99:94-100
9. Targana S, Olgunb A, Erdoganb Y, Sevincc V (2003) Cem Concr Res 33:1175-1182
10. Cheriaf M, Rocha JC, Pera J (1999) Cem Concr Res 29:1387-1391
11. Jaturapitakkul C, Cheerarot R (2003) J Mater Civil Eng 15:48-53
12. Hernández JFM, Middendorf B, Gehrke M, Budelmann H (1998) Cem Concr Res 28:1525-1536
13. Singh NB, Singh VD, Rai S (2000) Cem Concr Res 30:1485-1488
14. Paya J, Monzo J, Borrachero MV, Diaz-Pinzon L, Ordonez LM (2002) J Chem Technol Biotechnol 77:321-325
15. Ganesan K, Rajagopal K, Thangavel K (2007) Cem Concr Compos 29(6): 515-524
16. Rukzon S, Chindaprasirt P (2012) Mater Des 34:45-50
17. Cordeiro GC, Toledo Filho RD, Tavares LM, Fairbairn EMR (2008) Cem Concr Compos 30:410-418
18. Mtarfi NH, Rais Z, Taleb M, Kada KM (2017) J Build Eng 9:109-116
19. Moon GD, Oh S, Choi YC (2016) Constr Build Mater 124:1072-1080
20. Kim HK (2015) Constr Build Mater 91:57-64
21. Thomas M (2013) Supplementary cementing materials in concrete. Taylor & Francis, London
22. Kamali M, Ghahremaninezhad A (2016) Constr Build Mater 112:915-924

23. Hou P, Wang K, Qian J, Kawashima S, Kong D, Shah SP (2012) *Cem Concr Compos* 34:1095-1103
24. Sakai E, Miyahara S, Ohsawa S, Lee SH, Daimon M (2005) *Cem Concr Res* 35:1135-1140
25. Byfors K (1987) *Cem Concr Res* 17:115-130
26. Akram T, Memon SA, Obaid H (2009) *Constr Build Mater* 23:703-712
27. Nunes C, Slížková Z, Stefanidou M, Němeček J (2016) *Cem Concr Res* 83:152-163
28. Stefanidou M (2013) *Rom J Mater* 43(2):223-226
29. Manuel GB, Francisco A, Auxi B, Jesús A, Antonio R (2014) *Constr Build Mater* 72:231-238
-
30. Kurama H, Kaya M (2008) *Constr Build Mater* 22:1922-1928
31. Duan P, Yan C, Zhou W, Ren D (2016) *Constr Build Mater* 118:76-88
32. Wang Q, Feng J, Yan P (2012) *Constr Build Mater* 29:114-119
33. Medina G, Sáez del Bosque IF, Frías M, Sánchez de Rojas MI, Medina C (2017) *Appl Clay Sci* 135:362-371
34. Robayo-Salazar RA, Mejía de Gutiérrez R, Puertas F (2016) *Appl Clay Sci* 132-133: 491-497
35. Wilson W, Rivera-Torres JM, Sorelli L, Durán-Herrera A, Taguit-Hamou A (2017) *Cem Concr Res* 91:1-12
36. Khalid NHA, Hussin MW, Mirza J, Ariffin NF, Ismail MA, Lee H, Mohamed A, Jaya RP (2016) *Constr Build Mater* 102:950-960
37. Bajare D, Bumanis G, Upenieke L (2013) *Procedia Engineering* 57:149-158
38. Curcio F, DeAngelis BA, Pagliolico S (1998) *Cem Concr Res* 28:803-809
39. Goldman A, Bentur A (1993) *Cem Concr Res* 23:962-972
40. Annual Book of ASTM standards, American Society for Testing and Materials (2008) Part C 618-08
41. Annual Book of ASTM standards, American Society for Testing and Materials (2011) Part C 187-11
42. Mehta PK, Monteiro PJM (2006) Concrete: microstructure, properties, and materials, 3rd edn. McGraw-Hill, New York
43. Annual Book of ASTM standards, American Society for Testing and Materials (2013) Part C 191-13
44. Annual Book of ASTM standards, American Society for Testing and Materials (1999) Part C 305-99

45. Annual Book of ASTM standards, American Society for Testing and Materials (2001) Part C 109-01



Figure Captions

Fig. 1 Flow chart of experimental program of this research

Fig. 2 Normal consistency of PC containing BA and SCBA paste

Fig. 3 Setting time of ordinary Portland cement containing BA and SCBA

Fig. 4 SEM photographs and EDS analyses of the pastes blended pozzolan; (a) PC, (b) PC-EDS, (c) 20BA, (d) 20BA-EDS, (e) 20SCBA, (f) 20SCBA-EDS, (g) 10BA10SCBA and (h) 10BA10SCBA-EDS at 28 days

